



**Universidade Federal de Uberlândia
Instituto de Matemática e Estatística**

Bacharelado em Estatística

**Modelagem e Previsão de Variáveis Climáticas
Usando Modelos SARIMA, VAR e LSTM**

Izabella Cristina Nunes

Uberlândia-MG

2025

Izabella Cristina Nunes

**Modelagem e Previsão de Variáveis Climáticas
Usando Modelos SARIMA, VAR e LSTM**

Trabalho de conclusão de curso apresentado à Coordenação do Curso de Bacharelado em Estatística como requisito parcial para obtenção do grau de Bacharel em Estatística.

Orientador: Prof. Dr. José Waldemar da Silva

Uberlândia-MG

2025



**Universidade Federal de Uberlândia
Instituto de Matemática e Estatística**

Coordenação do Curso de Bacharelado em Estatística

A banca examinadora, conforme abaixo assinado, certifica a adequação deste trabalho de conclusão de curso para obtenção do grau de Bacharel em Estatística.

Uberlândia, _____ de _____ de 20_____

BANCA EXAMINADORA

Prof. Dr. José Waldemar da Silva

Prof Dr. Marcelo Tavares

Profa. Dra. Nádia Giaretta Biase

Uberlândia-MG

2025

RESUMO

Este trabalho tem como objetivo a análise e previsão de dados climáticos, mais especificamente as variáveis de precipitação, velocidade do vento, temperatura e umidade, para a cidade de Uberlândia - MG, utilizando modelos de séries temporais. Serão empregados três modelos de previsão: o modelo SARIMA (*Seasonal Autoregressive Integrated Moving Average*), o modelo VAR (*Vector Autoregressive*) e a rede neural LSTM (*Long Short-Term Memory*). A escolha dessas variáveis climáticas se dá pela sua importância para diversos setores, como agricultura, meteorologia e gestão de recursos naturais, onde a previsão precisa desses dados é crucial. O estudo visa comparar a eficácia dos modelos, tradicionalmente utilizados na literatura (SARIMA e VAR) e uma metodologia nova (LSTM), na previsão dessas variáveis, além de avaliar a aplicabilidade de cada técnica em diferentes cenários. Para isso, serão utilizados dados históricos climáticos obtidos a partir da estação climatológica do Instituto Nacional de Meteorologia (INMET), localizada no campus Santa Mônica da Universidade Federal de Uberlândia (UFU), no período de Janeiro de 2014 á Dezembro de 2024, que serão tratados e analisados conforme as características de cada modelo. As métricas de validação utilizadas para comparar a performance dos modelos serão a RMSE (Raiz do Erro Quadrático Médio), a MSE (Erro Quadrático Médio) e o MAE (Erro Médio Absoluto), que permitem indicar a qualidade das previsões. A análise revelou que o SARIMA apresentou melhor desempenho para precipitação, temperatura e umidade, as LSTMs se destacaram na previsão do vento devido à sua flexibilidade frente a séries mais irregulares, enquanto o VAR apresentou erros mais elevados. Esses resultados reforçam a importância de avaliar comparativamente diferentes técnicas, considerando a natureza das séries temporais e os fenômenos climáticos analisados.

Palavras-chave: Métricas de Validação; Previsão; Redes Neurais; Seleção automática de Modelos; Variáveis Climáticas.

ABSTRACT

This study aims to analyze and forecast climatic data, specifically the variables of precipitation, wind speed, temperature, and humidity, using time series models. Three forecasting models are employed: the SARIMA model (Seasonal Autoregressive Integrated Moving Average), the VAR model (Vector Autoregressive), and the LSTM neural network (Long Short-Term Memory). These climatic variables were chosen due to their importance in various sectors, such as agriculture, meteorology, and natural resource management, where accurate predictions are crucial. The study seeks to compare the effectiveness of the models in forecasting these variables and to evaluate the applicability of each technique in different scenarios. Historical climate data are used, processed, and analyzed according to the characteristics of each model. The validation metrics used to compare model performance are RMSE (Root Mean Squared Error), MSE (Mean Squared Error), and MAE (Mean Absolute Error), which allow assessing the precision and explanatory capacity of each model, as well as the quality of the forecasts. The analysis revealed that SARIMA performed best for precipitation, temperature, and humidity, LSTMs excelled in forecasting wind speed due to their flexibility in handling more irregular series, while VAR presented consistently higher errors. These results highlight the importance of comparatively evaluating different techniques, considering both the statistical properties of the series and the nature of the climatic phenomena analyzed.

Keywords: Automatic Model Selection; Climatic Variables; Forecasting; Neural Networks; Validation Metrics.

SUMÁRIO

Lista de Figuras	I
Lista de Tabelas	II
1 Introdução	1
1.1 Introdução	1
1.2 Objetivos	2
2 Fundamentação Teórica	3
2.1 Séries Temporais	3
2.2 Modelo SARIMA	3
2.3 Modelo VAR	5
2.4 Modelo LSTM (Long Short-Term Memory)	7
2.5 Métricas de Validação	10
3 Metodologia	12
3.1 Dados	12
3.2 Modelo SARIMA	12
3.3 Modelo VAR	13
3.4 Modelo LSTM (Long Short-Term Memory)	14
3.5 Métricas de Validação	14
4 Resultados	16
4.1 Análise Descritiva dos Dados	16
4.2 Modelo SARIMA	18
4.3 Modelo VAR	21
4.4 Modelo LSTM (Long Short-Term Memory)	24
5 Conclusões	28
Referências Bibliográficas	29
Apêndice A Código SARIMA	31
Apêndice B Código VAR	41
Apêndice C Código LSTM	47

LISTA DE FIGURAS

2.1 Ilustração de uma rede neural com duas variáveis de entrada, duas camadas ocultas, com 4 e 3 neurônios respectivamente e uma variável de saída.	7
4.1 Série temporal da variável precipitação.	16
4.2 Série temporal da variável temperatura.	17
4.3 Série temporal da variável umidade.	17
4.4 Série temporal da variável velocidade do vento.	17
4.5 Previsão da série temporal de precipitação utilizando o modelo SARIMA.	20
4.6 Previsão da série temporal de temperatura utilizando o modelo SARIMA.	20
4.7 Previsão da série temporal de umidade utilizando o modelo SARIMA.	20
4.8 Previsão da série temporal de vento utilizando o modelo SARIMA.	21
4.9 Previsão da série temporal de precipitação utilizando o modelo VAR.	23
4.10 Previsão da série temporal de temperatura utilizando o modelo VAR.	23
4.11 Previsão da série temporal de umidade utilizando o modelo VAR.	23
4.12 Previsão da série temporal de vento utilizando o modelo VAR.	24
4.13 Previsão da série temporal de precipitação utilizando o modelo LSTM.	25
4.14 Previsão da série temporal de temperatura utilizando o modelo LSTM.	26
4.15 Previsão da série temporal de umidade utilizando o modelo LSTM.	26
4.16 Previsão da série temporal de vento utilizando o modelo LSTM.	26

LISTA DE TABELAS

4.1	P-valores do teste ADF antes e após a diferenciação	16
4.2	Valores de AIC e BIC para cada variável analisada	18
4.3	Resultados dos testes de diagnóstico dos resíduos dos modelos	18
4.4	Valores observados, previstos e intervalos de confiança (95%) para precipitação	19
4.5	Valores observados, previstos e intervalos de confiança (95%) para temperatura	19
4.6	Valores observados, previstos e intervalos de confiança (95%) para vento	19
4.7	Valores observados, previstos e intervalos de confiança (95%) para umidade	19
4.8	Resultados (valores-p) do teste de causalidade de Granger e testes de diagnóstico aplicados ao modelo VAR	21
4.9	Valores observados, previstos e intervalos de confiança (95%) para precipitação	22
4.10	Valores observados, previstos e intervalos de confiança (95%) para temperatura	22
4.11	Valores observados, previstos e intervalos de confiança (95%) para umidade	22
4.12	Valores observados, previstos e intervalos de confiança (95%) para vento	22
4.13	Valores observados e previstos para precipitação utilizando o modelo LSTM	24
4.14	Valores observados e previstos para temperatura utilizando o modelo LSTM	24
4.15	Valores observados e previstos para umidade utilizando o modelo LSTM	25
4.16	Valores observados e previstos para velocidade do vento utilizando o modelo LSTM	25
4.17	Arquitetura do modelo LSTM definida automaticamente para cada variável	27

1. INTRODUÇÃO

1.1 INTRODUÇÃO

A análise e previsão de variáveis climáticas desempenham papel central em diversos setores da sociedade, como agricultura, gestão de recursos hídricos, planejamento urbano e formulação de políticas ambientais. A capacidade de antecipar o comportamento de elementos meteorológicos, tais como precipitação, temperatura, umidade relativa do ar e velocidade do vento, é fundamental para reduzir impactos socioeconômicos associados a eventos extremos e apoiar a tomada de decisões em cenários de incerteza. Na cidade de Uberlândia, localizada na região do Triângulo Mineiro, tal análise assume relevância adicional devido à sua posição geográfica, marcada por variações sazonais expressivas e forte relação entre condições climáticas e atividades econômicas locais, além disso a previsão dessas variáveis é de fundamental importância para o setor agrícola.

Tradicionalmente, a previsão de séries temporais climáticas tem sido realizada por meio de modelos estatísticos, como o ARIMA (*Autoregressive Integrated Moving Average*) e sua extensão sazonal, o SARIMA (*Seasonal Autoregressive Integrated Moving Average*), amplamente utilizados em situações em que há padrões de dependência temporal regulares. Outra abordagem comumente adotada é o modelo VAR (*Vector AutoRegressive*), que possibilita analisar simultaneamente múltiplas variáveis interdependentes, capturando suas interações dinâmicas ao longo do tempo. Embora eficazes, esses modelos assumem linearidade nas relações, o que pode limitar sua capacidade preditiva em sistemas complexos e não lineares, o que pode acontecer em processos meteorológicos.

Dante desse cenário, este trabalho propõe a utilização complementar de técnicas de aprendizado de máquina, em especial a rede neural LSTM (*Long Short-Term Memory*), cuja estrutura foi projetada para capturar dependências de longo prazo em dados sequenciais e lidar com não linearidades intrínsecas. Ao comparar o desempenho do LSTM com modelos estatísticos tradicionais, busca-se avaliar em que medida abordagens modernas de inteligência artificial podem superar ou complementar métodos consolidados na literatura.

A justificativa para a adoção dessa metodologia reside na possibilidade de combinar as vantagens de cada abordagem. Enquanto os modelos estatísticos fornecem interpretabilidade e fundamentação teórica consolidada, as redes neurais recorrentes, como o LSTM, oferecem flexibilidade para capturar padrões complexos que escapam às hipóteses lineares. Assim, espera-se que a comparação entre SARIMA, VAR e LSTM forneça uma visão abrangente sobre as potencialidades e limitações de cada técnica na previsão de variáveis climáticas em Uberlândia, contribuindo para o aprimoramento de métodos preditivos no campo da climatologia aplicada.

Estas modelagens já foram abordadas por outros autores. Mata [9] aplicou o modelo SARIMA para prever o índice de calor na Baixada Cuiabana, utilizando dados de temperatura do ar e umidade relativa do ar. Além disso, estudos como o de Rahman [14] compararam o desempenho do SARIMA e do modelo VAR na previsão de parâmetros climáticos, concluindo que o VAR apresentou maior acurácia ao capturar as interdependências entre temperatura, umidade e cobertura de nuvens. De forma semelhante, Amegashie [1] aplicaram o modelo VAR para analisar a influência de variáveis climáticas na incidência de malária em Gana, demonstrando a capacidade do modelo em identificar relações dinâmicas entre clima e saúde. Redes neurais do tipo LSTM também têm sido aplicadas em estudos recentes para previsão de variáveis ambientais. Este fato pode ser comprovado pelo trabalho de Soares [17], que utilizou LSTM para prever chuva e eventos climáticos severos, e por Bem-Haja [3], que aplicou LSTM para prever níveis de bacias hidrográficas, mostrando que essas redes podem superar abordagens tradicionais em cenários não lineares.

Neste trabalho, os objetivos serão apresentados na Seção 1.2, aspectos teóricos de cada modelo serão abordados no Capítulo 2, métodos e informações sobre os dados serão apresentados no Capítulo 3, resultados no Capítulo 4 e, por fim, considerações finais no Capítulo 5.

1.2 OBJETIVOS

O presente trabalho teve como objetivo geral analisar séries temporais meteorológicas utilizando diferentes abordagens estatísticas e de aprendizado de máquina, a fim de comparar o desempenho dos modelos na previsão de variáveis climáticas. Para isso, serão explorados modelos tradicionais e avançados, incluindo SARIMA, VAR e redes neurais LSTM.

Além do objetivo geral, teve como objetivos específicos:

- Implementar análises das variáveis climáticas precipitação, umidade, temperatura e velocidade do vento, utilizando os modelos **SARIMA**, **VAR** e **LSTM** analisando seus desempenhos preditivos.
- Explorar funções de busca automática do melhor modelo SARIMA, VAR e LSTM.
- Comparar os modelos em termos de precisão preditiva, utilizando métricas como Raiz do Erro Quadrático Médio, Erro Quadrático Médio e Erro Médio Absoluto, em inglês, respectivamente, *Root Mean Squared Error* (RMSE), *Mean Squared Error* (MSE) e *Mean Absolut Error* (MAE).

2. FUNDAMENTAÇÃO TEÓRICA

2.1 SÉRIES TEMPORAIS

De acordo com Morettin e Toloi ([10]), uma **série temporal** pode ser definida como um conjunto de observações coletadas ao longo do tempo, geralmente em intervalos regulares. O principal objetivo da análise de séries temporais é modelar o comportamento dinâmico desses dados, levando em consideração a dependência entre as observações ao longo do tempo.

Uma característica fundamental das séries temporais é o fato de que as observações não são independentes, ou seja, o valor de uma variável em determinado momento pode depender dos valores passados. Por isso, técnicas estatísticas tradicionais, que assumem independência entre as observações, não são adequadas para este tipo de dado.

Segundo os autores, uma série temporal pode apresentar diferentes **componentes**, como:

- **Tendência (ou Trend):** Refere-se a uma mudança de longo prazo no nível médio da série, podendo ser crescente ou decrescente.
- **Sazonalidade:** Refere-se a padrões que se repetem em intervalos regulares de tempo, como ciclos anuais, mensais ou diários.
- **Ciclos:** Representam flutuações que ocorrem em períodos mais longos e menos regulares do que a sazonalidade.
- **Irregularidade (ou Ruído):** Refere-se a variações aleatórias que não podem ser explicadas por nenhum dos componentes anteriores.

Autores como Ferreira ([5]) ressaltam que a identificação e separação desses componentes é essencial para a construção de modelos de previsão mais robustos. Dentre os principais modelos utilizados na literatura para séries univariadas estão os modelos **AR** (Auto-Regressivo), **MA** (Média Móvel) e **ARMA/ARIMA**, que servem de base para extensões mais complexas como o modelo **SARIMA**.

Além disso, destaca-se a importância da **análise exploratória**, da **verificação de estacionariedade** e da **avaliação de resíduos** como etapas fundamentais na modelagem de séries temporais ([10]; [5]).

2.2 MODELO SARIMA

Segundo Morettin e Toloi [10] o modelo SARIMA é uma extensão do ARIMA que incorpora componentes sazonais, sendo útil para modelar séries temporais com padrões repetitivos ao longo do tempo. Mesmo após remover a sazonalidade determinística, pode haver autocorrelação residual, tanto em lags de baixa ordem (indicando dependência temporal) quanto em lags sazonais (múltiplos do período s). Nesses casos, o SARIMA é uma abordagem adequada para capturar essa sazonalidade estocástica, permitindo previsões mais precisas.

O modelo SARIMA é representado pela seguinte expressão:

$$\phi(B)\Phi(B^{12})(1 - B^{12})^D(1 - B)^d Z_t = \theta(B)\Theta(B^{12})a_t \quad (2.1)$$

Onde:

- Z_t : Série temporal observada;
- B : Operador de defasagem (ou atraso), definido como $BZ_t = Z_{t-1}$;
- $(1 - B)^d$: Diferenciação não sazonal de ordem d , usada para tornar a série estacionária. Para $d = 1$:

$$(1 - B)Z_t = Z_t - Z_{t-1}$$

- $(1 - B^{12})^D$: Diferenciação sazonal de ordem D , que elimina padrões sazonais de período 12. Para $D = 1$:

$$(1 - B^{12})Z_t = Z_t - Z_{t-12}$$

- $\phi(B)$: Polinômio autorregressivo (AR) de ordem p :

$$\phi(B) = 1 - \phi_1 B - \phi_2 B^2 - \cdots - \phi_p B^p$$

- $\Phi(B^{12})$: Polinômio autorregressivo sazonal de ordem P :

$$\Phi(B^{12}) = 1 - \Phi_1 B^{12} - \cdots - \Phi_P B^{12P}$$

- $\theta(B)$: Polinômio de médias móveis (MA) de ordem q :

$$\theta(B) = 1 - \theta_1 B - \theta_2 B^2 - \cdots - \theta_q B^q$$

- $\Theta(B^{12})$: Polinômio de médias móveis sazonais de ordem Q :

$$\Theta(B^{12}) = 1 - \Theta_1 B^{12} - \cdots - \Theta_Q B^{12Q}$$

- a_t : Ruído branco, um processo com média zero, variância constante e sem autocorrelação.

Conforme apresentado em [8], o modelo SARIMA também pode ser representado pela Eq. 2.2:

$$\begin{aligned} \nabla^D \Delta^d Z_t &= \phi_1 Z_{t-1} + \phi_2 Z_{t-2} + \cdots + \phi_p Z_{t-p} + \varepsilon_t - \theta_1 \varepsilon_{t-1} - \theta_2 \varepsilon_{t-2} - \cdots - \theta_q \varepsilon_{t-q} \\ &+ \Phi_1 Z_{t-1S} + \Phi_2 Z_{t-2S} + \cdots + \Phi_P Z_{t-PS} - \Theta_1 \varepsilon_{t-1S} - \Theta_2 \varepsilon_{t-2S} - \cdots - \Theta_Q \varepsilon_{t-QS} \end{aligned} \quad (2.2)$$

em que:

- ∇^D : Ordem de integração sazonal com D diferenças;
- Δ^d : Ordem de integração não sazonal com d diferenças;
- ϕ_i : Coeficientes autorregressivos com $i = 1, 2, \dots, p$;
- θ_i : Coeficientes de média móvel com $i = 1, 2, \dots, q$;
- Φ_i : Coeficientes autorregressivos sazonais com $i = 1, 2, \dots, P$;
- Θ_i : Coeficientes de média móvel sazonal com $i = 1, 2, \dots, Q$;
- ε_t : Resíduo.

Essa equação define um modelo SARIMA(p, d, q)(P, D, Q)[12], adequado para séries temporais com sazonalidade anual.

No contexto dos modelos SARIMA, a determinação dos parâmetros $(p, d, q)(P, D, Q)_s$ ocorre em etapas sucessivas. Primeiramente, busca-se identificar o número de diferenciações necessárias para tornar a série estacionária, sendo d a ordem de diferenciação regular e D a ordem de diferenciação sazonal, associada ao período s . Em seguida, a escolha das ordens dos termos autorregressivos (p e P) e de médias móveis (q e Q) é orientada pela análise dos correlogramas, isto é, pela inspeção dos padrões de corte e de decaimento nas funções de autocorrelação e autocorrelação parcial. Uma vez definidas essas ordens, procede-se à estimativa dos parâmetros por métodos de máxima verossimilhança, buscando os valores que maximizam a probabilidade de observação da série sob o modelo proposto. Por fim, critérios de informação, como o AIC e o BIC, são empregados para selecionar a especificação mais parcimoniosa, enquanto a análise dos resíduos garante que o ajuste final se comporte como um processo de ruído branco [10].

2.3 MODELO VAR

O modelo VAR (Vector AutoRegressive) foi empregado como abordagem multivariada, permitindo a análise conjunta das variáveis climáticas e suas interações dinâmicas ao longo do tempo. Trata-se de uma generalização dos modelos autorregressivos univariados, em que cada variável é explicada não apenas por seus próprios valores passados, mas também pelos valores defasados das demais variáveis do sistema [2].

Matematicamente, um modelo VAR de ordem p , denotado por $\text{VAR}(p)$, pode ser representado pela seguinte expressão:

$$Y_t = c + A_1 Y_{t-1} + A_2 Y_{t-2} + \cdots + A_p Y_{t-p} + \varepsilon_t, \quad (2.3)$$

em que:

- Y_t é um vetor $k \times 1$ contendo as k variáveis endógenas no instante t ;
- c é um vetor de constantes;
- A_i são matrizes de coeficientes de dimensão $k \times k$, para $i = 1, \dots, p$;
- ε_t é um vetor de erros aleatórios, com média zero e matriz de covariância constante.

A estimativa dos parâmetros desse modelo é realizada pelo método dos mínimos quadrados ordinários (OLS) conforme apresentado em Barros, [2]. Cada equação do sistema pode ser tratada como uma regressão linear múltipla, na qual a variável dependente é explicada por seus próprios valores defasados e pelos valores defasados das demais variáveis. Para formalizar o procedimento, organiza-se o modelo na forma matricial, em que Y representa a matriz das observações das variáveis dependentes e X a matriz formada pelas defasagens de todas as séries incluídas. O estimador dos coeficientes é obtido pela expressão:

$$\hat{\beta} = (X'X)^{-1}X'Y, \quad (2.4)$$

sendo $\hat{\beta}$ o vetor dos parâmetros estimados. Essa expressão mostra que a estimativa é feita a partir da inversão da matriz de correlação das variáveis defasadas ($X'X$) e da multiplicação pelo produto cruzado entre os regressores e as variáveis dependentes ($X'Y$). O uso do OLS nesse contexto garante consistência e eficiência dos estimadores quando as séries são estacionárias, além de permitir que cada equação seja estimada separadamente sem perda de eficiência estatística [2].

A expressão apresentada na Eq. 2.3 mostra a formulação geral do modelo $\text{VAR}(p)$ em notação matricial compacta. Para o caso em que $k = 4$ variáveis endógenas são consideradas, e uma defasagem p qualquer é utilizada, a Eq. 2.3 pode ser expandida em um sistema de equações individuais, como mostrado nas Eqs. (2.4)–(2.7).

Nessas equações, cada variável $y_{i,t}$ é representada em função de suas próprias defasagens e das defasagens das demais variáveis, ponderadas pelos respectivos coeficientes $a_{i,k}^{(j)}$, além do termo de erro $u_{i,t}$. Essa representação detalhada torna explícita a forma como o modelo VAR capta as inter-relações dinâmicas entre as séries, enquanto a notação matricial fornece uma visão mais compacta e geral do mesmo modelo.

Para o caso em que $k = 4$ e uma defasagem p qualquer, as equações para cada variável são como na Eq. 2.8

$$\begin{aligned} y_{1,t} &= a_{11}^{(1)} y_{1,t-1} + a_{12}^{(1)} y_{2,t-1} + a_{13}^{(1)} y_{3,t-1} + a_{14}^{(1)} y_{4,t-1} \\ &+ a_{11}^{(2)} y_{1,t-2} + a_{12}^{(2)} y_{2,t-2} + a_{13}^{(2)} y_{3,t-2} + a_{14}^{(2)} y_{4,t-2} + \dots \\ &+ a_{11}^{(p)} y_{1,t-p} + a_{12}^{(p)} y_{2,t-p} + a_{13}^{(p)} y_{3,t-p} + a_{14}^{(p)} y_{4,t-p} + u_{1,t} \end{aligned} \quad (2.5)$$

$$\begin{aligned} y_{2,t} &= a_{21}^{(1)} y_{1,t-1} + a_{22}^{(1)} y_{2,t-1} + a_{23}^{(1)} y_{3,t-1} + a_{24}^{(1)} y_{4,t-1} \\ &+ a_{21}^{(2)} y_{1,t-2} + a_{22}^{(2)} y_{2,t-2} + a_{23}^{(2)} y_{3,t-2} + a_{24}^{(2)} y_{4,t-2} + \dots \\ &+ a_{21}^{(p)} y_{1,t-p} + a_{22}^{(p)} y_{2,t-p} + a_{23}^{(p)} y_{3,t-p} + a_{24}^{(p)} y_{4,t-p} + u_{2,t} \end{aligned} \quad (2.6)$$

$$\begin{aligned} y_{3,t} &= a_{31}^{(1)} y_{1,t-1} + a_{32}^{(1)} y_{2,t-1} + a_{33}^{(1)} y_{3,t-1} + a_{34}^{(1)} y_{4,t-1} \\ &+ a_{31}^{(2)} y_{1,t-2} + a_{32}^{(2)} y_{2,t-2} + a_{33}^{(2)} y_{3,t-2} + a_{34}^{(2)} y_{4,t-2} + \dots \\ &+ a_{31}^{(p)} y_{1,t-p} + a_{32}^{(p)} y_{2,t-p} + a_{33}^{(p)} y_{3,t-p} + a_{34}^{(p)} y_{4,t-p} + u_{3,t} \end{aligned} \quad (2.7)$$

$$\begin{aligned} y_{4,t} &= a_{41}^{(1)} y_{1,t-1} + a_{42}^{(1)} y_{2,t-1} + a_{43}^{(1)} y_{3,t-1} + a_{44}^{(1)} y_{4,t-1} \\ &+ a_{41}^{(2)} y_{1,t-2} + a_{42}^{(2)} y_{2,t-2} + a_{43}^{(2)} y_{3,t-2} + a_{44}^{(2)} y_{4,t-2} + \dots \\ &+ a_{41}^{(p)} y_{1,t-p} + a_{42}^{(p)} y_{2,t-p} + a_{43}^{(p)} y_{3,t-p} + a_{44}^{(p)} y_{4,t-p} + u_{4,t} \end{aligned} \quad (2.8)$$

Uma etapa fundamental para a modelagem com VAR é a definição da ordem p adequada. Para tanto, utilizaram-se critérios de informação, como o AIC (Akaike Information Criterion) e o BIC (Bayesian Information Criterion), cujas expressões são dadas por:

$$AIC = -2 \ln(\hat{L}) + 2k_1, \quad (2.9)$$

$$BIC = -2 \ln(\hat{L}) + k_1 \ln(n), \quad (2.10)$$

em que \hat{L} é a função de verossimilhança maximizada do modelo, k_1 é o número de parâmetros estimados e n o número de observações.

Antes da estimação, a estacionariedade das séries deve ser verificada e o teste de Dickey-Fuller Aumentado (ADF) é indicado para verificar a estabilidade da série conforme descrito em [2, 10]. Quando constatada não estacionariedade, aplicam-se transformações como diferenciação, de modo a tornar a série estacionária, assegurando que os parâmetros do modelo permaneçam estáveis ao longo do tempo e que as relações entre variáveis não resultem em correlações espúrias.

O teste de causalidade de Granger, conforme discutido por Bueno [16], é amplamente utilizado para analisar a relação temporal entre duas séries, buscando identificar se uma variável pode prever a outra. Nesse sentido, segundo Morettin e Toloi (2018) [10], é necessário verificar se os resíduos do modelo apresentam características desejáveis, como a ausência de autocorrelação, normalidade e heterocedasticidade. Para tanto, testes como o de Portmanteau podem ser aplicados para verificar a autocorrelação dos resíduos, enquanto o teste de Jarque-Bera é utilizado para avaliar a normalidade desses resíduos. Além disso, o teste ARCH é empregado para identificar a presença de heterocedasticidade condicional. Esses diagnósticos são fundamentais para garantir maior robustez às inferências feitas, proporcionando maior confiabilidade nas conclusões sobre a causalidade entre as séries temporais [2, 10] obtidas.

2.4 MODELO LSTM (LONG SHORT-TERM MEMORY)

Uma rede neural é um sistema matemático, inspirado no cérebro humano, que aprende padrões a partir de dados, ajustando automaticamente seus parâmetros ou pesos para melhorar suas previsões ou classificações.

Uma rede neural clássica é a MLP (Multi-Layer Perceptron) composta por múltiplas camadas de perceptrons totalmente conectados, capaz de aprender padrões complexos a partir de dados.

Na Figura 2.1 é ilustrada a arquitetura de uma rede neural MLP com duas variáveis de entrada, quatro e três neurônios, respectivamente, na primeira e segunda camadas ocultas, os vieses e os pesos em cada conexão.

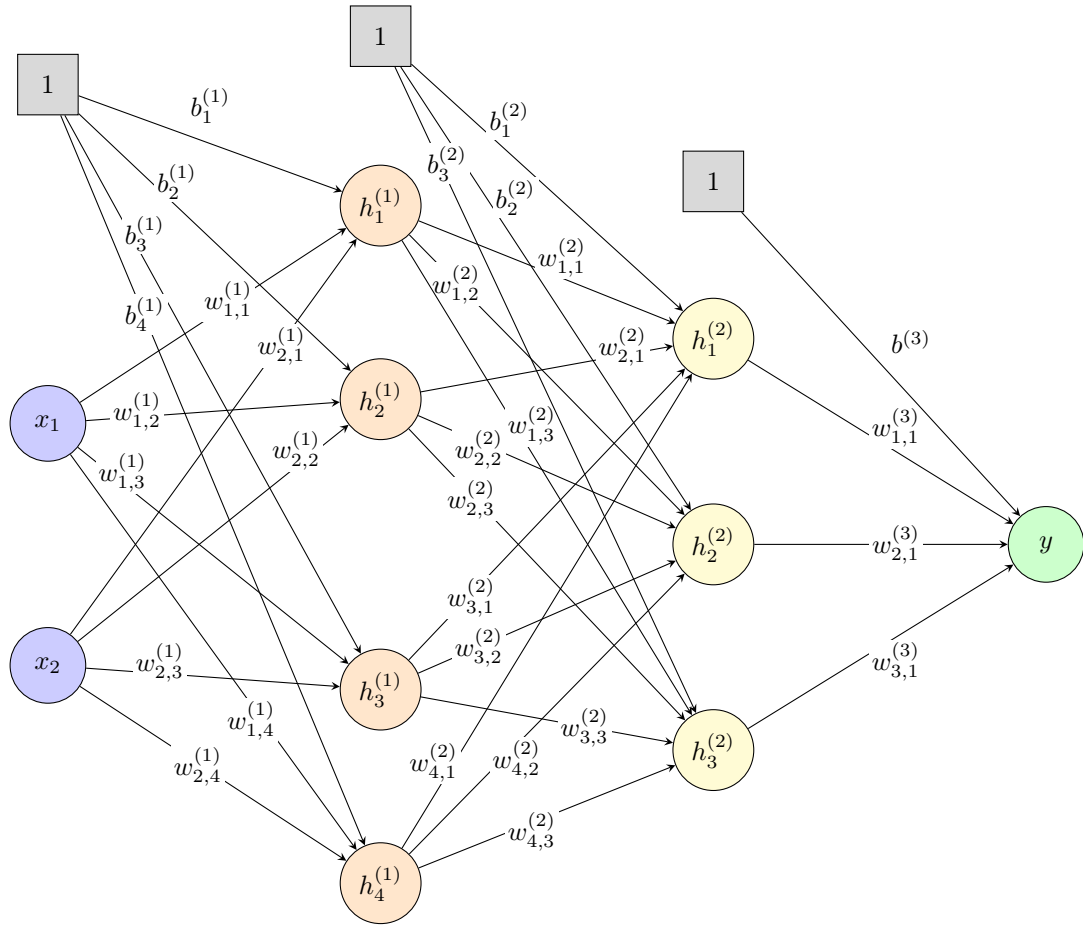


Figura 2.1: Ilustração de uma rede neural com duas variáveis de entrada, duas camadas ocultas, com 4 e 3 neurônios respectivamente e uma variável de saída.

A partir da arquitetura ilustrada na Figura 2.1, a propagação direta (forward propagation) pode ser representada pela operações matriciais indicada na Eq.2.11

$$\begin{aligned}
 \mathcal{Z}^{(1)} &= \mathcal{H}^{(0)} \cdot \mathcal{W}^{(1)} \\
 \mathcal{H}^{(1)} &= f^{(1)}(\mathcal{Z}^{(1)}) \\
 \mathcal{Z}^{(2)} &= \mathcal{H}^{(1)} \cdot \mathcal{W}^{(2)} \\
 \mathcal{H}^{(2)} &= f^{(2)}(\mathcal{Z}^{(2)}) \\
 \mathcal{Z}^{(3)} &= \mathcal{H}^{(2)} \cdot \mathcal{W}^{(3)} \\
 \mathcal{Y} &= f^{(3)}(\mathcal{Z}^{(3)})
 \end{aligned} \tag{2.11}$$

em que os elementos de \mathcal{Z} são resultantes da combinação linear dos pesos com as entradas adicionada do viés e , portanto, é a operação linear da camada. Este é o cálculo realizado imediatamente antes da aplicação da função de ativação e sendo assim, a \mathcal{Z} também é denominada de matriz de pré-ativação.

Nas equações apresentadas em Eq. 2.11, $H^0 = [\mathbf{1} \ x_1 \ x_2]$ em que $\mathbf{1}$ é um vetor coluna de uns de dimensão $n \times 1$, x_1 e x_2 são vetores coluna de dimensão $n \times 1$ e as matrizes $\mathbf{W}^{(1)}$, $\mathbf{W}^{(2)}$ e $\mathbf{W}^{(3)}$ são como apresentadas nas Eqs. 2.12, 2.13 e 2.14, respectivamente.

$$\mathbf{W}^{(1)} = \begin{matrix} \text{Neurônio 1} & \text{Neurônio 2} & \text{Neurônio 3} & \text{Neurônio 4} \\ \text{Viés (1)} & b_1^{(1)} & b_2^{(1)} & b_3^{(1)} & b_4^{(1)} \\ \text{Entrada 1} & w_{11}^{(1)} & w_{12}^{(1)} & w_{13}^{(1)} & w_{14}^{(1)} \\ \text{Entrada 2} & w_{21}^{(1)} & w_{22}^{(1)} & w_{23}^{(1)} & w_{24}^{(1)} \end{matrix} \quad (2.12)$$

$$\mathbf{W}^{(2)} = \begin{matrix} \text{Neurônio 1} & \text{Neurônio 2} & \text{Neurônio 3} \\ \text{Viés (1)} & b_1^{(2)} & b_2^{(2)} & b_3^{(2)} \\ \text{Entrada 1} & w_{11}^{(2)} & w_{12}^{(2)} & w_{13}^{(2)} \\ \text{Entrada 2} & w_{21}^{(2)} & w_{22}^{(2)} & w_{23}^{(2)} \\ \text{Entrada 3} & w_{31}^{(2)} & w_{32}^{(2)} & w_{33}^{(2)} \\ \text{Entrada 4} & w_{41}^{(2)} & w_{42}^{(2)} & w_{43}^{(2)} \end{matrix} \quad (2.13)$$

$$\mathbf{W}^{(3)} = \begin{matrix} \text{Neurônio 1} \\ \text{Viés (1)} & b^{(3)} \\ \text{Entrada 1} & w_{11}^{(3)} \\ \text{Entrada 2} & w_{21}^{(3)} \\ \text{Entrada 3} & w_{31}^{(3)} \end{matrix} \quad (2.14)$$

A propagação na rede desde a entrada até a saída é feita, realizando as operações, de forma sequencial, definidas pelas equações apresentadas na Eq. 2.11 e, $f^{(1)}$, $f^{(2)}$ e $f^{(3)}$ são funções de ativação.

Várias funções de ativação são definidas na literatura [17] e a decisão sobre qual utilizar, em geral, é dependente do tipo de problema abordado ou do tipo da variável a ser modelada.

As redes neurais recorrentes (RNNs) introduzem conexões recorrentes que permitem o armazenamento de informações de estados anteriores, tornando-as especialmente indicadas para lidar com dados sequenciais ou temporais, como séries temporais, linguagem natural e sinais de áudio. Assim, enquanto a MLP aprende padrões estáticos, a RNN é capaz de capturar dependências ao longo do tempo, expandindo o alcance de aplicação das redes neurais.

No entanto, as RNNs sofrem com o problema do gradiente desaparecendo ou explodindo, o que dificulta o aprendizado de dependências de longo prazo em séries temporais ou sequências muito longas. A rede neural LSTM (Long Short-Term Memory) pode sanar este problema.

O modelo LSTM é uma variante avançada das RNNs, projetada para superar o problema do desvanecimento e explosão de gradientes, o que permite capturar dependências de longo prazo em séries temporais. De acordo com Haykin [6], as unidades LSTM incorporam mecanismos chamados portas — de entrada, esquecimento e saída — que regulam seletivamente o fluxo de informações, permitindo à rede decidir quais dados devem ser retidos ou descartados.

O modelo LSTM (Long Short-Term Memory) foi utilizado como técnica de aprendizado de máquina para previsão das variáveis climáticas. Essa rede neural recorrente é capaz de capturar dependências de longo prazo em dados sequenciais, sendo adequada para lidar com padrões complexos e não lineares presentes em séries temporais. De acordo com Haykin ([5]), as redes neurais são especialmente eficazes em tarefas que envolvem reconhecimento de padrões e previsão, justamente pela capacidade de adaptação de seus parâmetros durante o

treinamento.

Matematicamente, cada unidade LSTM segue a dinâmica apresentada nas Eqs. 2.15:

$$\begin{aligned}
 f_t &= \sigma(W_f[h_{t-1}, x_t] + b_f) \\
 i_t &= \sigma(W_i[h_{t-1}, x_t] + b_i) \\
 \tilde{C}_t &= \tanh(W_C[h_{t-1}, x_t] + b_C) \\
 C_t &= f_t \cdot C_{t-1} + i_t \cdot \tilde{C}_t \\
 o_t &= \sigma(W_o[h_{t-1}, x_t] + b_o) \\
 h_t &= o_t \cdot \tanh(C_t)
 \end{aligned} \tag{2.15}$$

em que:

- f_t é a porta de esquecimento, no instante t , que decide quais informações da célula anterior serão descartadas;
- i_t é a porta de entrada, que controla quais novas informações serão armazenadas no estado da célula;
- \tilde{C}_t é o vetor candidato a estado, contendo novas informações que podem ser adicionadas à memória;
- C_t é o estado da célula, que armazena as informações relevantes ao longo do tempo;
- o_t é a porta de saída, que decide quais informações do estado da célula serão usadas para calcular a saída;
- h_t é o estado oculto, ou saída da unidade LSTM no instante t ;
- x_t é a entrada no instante t ;
- h_{t-1} é o estado oculto do instante anterior;
- W_f, W_i, W_C, W_o são as matrizes de pesos associadas a cada porta;
- a notação $W_f[h_{t-1}, x_t]$ representa a multiplicação da matriz de pesos W_f pelo vetor resultante da concatenação de h_{t-1} e x_t ;
- b_f, b_i, b_C, b_o são os vetores de viés correspondentes;
- σ representa a função logística sigmoide, que mapeia valores para o intervalo $(0, 1)$;
- \tanh é a função tangente hiperbólica, que mapeia valores para o intervalo $(-1, 1)$.

Em um estudo, Bem-Haja [3] propôs a utilização de redes neurais artificiais do tipo LSTM na previsão do nível de bacias hidrográficas, destacando que “os modelos LSTM mostraram-se eficazes em capturar padrões complexos de séries temporais hidrológicas, possibilitando previsões de curto prazo com desempenho satisfatório”. De fato, a estrutura recorrente dessas redes permite lidar com a natureza sequencial e não linear dos dados climáticos. Essa combinação de boa retenção de informações e controle de fluxo torna o LSTM uma escolha robusta para previsão de séries climáticas complexas.

A arquitetura de uma rede LSTM é caracterizada pelo número de camadas e pela quantidade de neurônios em cada uma delas, elementos que definem a capacidade de representação do modelo. De acordo com Haykin ([6]), a escolha da quantidade de unidades em uma rede neural influencia diretamente sua habilidade de capturar padrões complexos, sendo necessário encontrar um equilíbrio entre complexidade e capacidade de generalização. Nesse sentido, Bem-Haja ([3]) destaca que a definição adequada da arquitetura em modelos LSTM é fundamental para garantir previsões satisfatórias em séries temporais, pois redes muito simples podem não capturar dependências relevantes, enquanto arquiteturas excessivamente complexas podem resultar em sobreajuste (*overfitting*) quando aplicadas a bases de dados limitadas.

O processo de aprendizado em uma rede neural artificial, como nas MLPs, tem como principal objetivo a minimização de uma função de erro, geralmente associada ao erro quadrático médio (MSE), que corresponde à soma dos quadrados das diferenças entre os valores previstos e os observados, conforme descrito por [6]. Esse aprendizado ocorre de forma iterativa e envolve três etapas fundamentais. Na primeira, chamada de propagação direta (*forward propagation*), os dados de entrada percorrem a rede camada por camada até a obtenção da saída. Em seguida, calcula-se o erro comparando a saída da rede com o valor real, por meio da função de perda. A terceira etapa corresponde ao ajuste dos pesos sinápticos, realizado através do algoritmo de retropropagação do erro (*backpropagation*), no qual os gradientes da função de perda em relação aos pesos são calculados e usados para atualizar os parâmetros da rede segundo uma regra de descida de gradiente. Esse ciclo de propagação direta, cálculo do erro e retropropagação se repete diversas vezes ao longo do treinamento, em múltiplas épocas, até que o erro seja minimizado ou atinja um nível satisfatório, como enfatiza [6].

As redes LSTM compartilham esse mesmo princípio de aprendizado baseado na minimização do erro, mas apresentam uma diferença essencial em relação às MLP tradicionais: a capacidade de lidar com dados sequenciais e dependências de longo prazo. Para isso, incorporam mecanismos internos de memória, organizados em portas de entrada, esquecimento e saída, que regulam de forma seletiva o fluxo de informações relevantes ao longo do tempo, segundo [6]. Essa característica as torna particularmente eficazes na modelagem de séries temporais, uma vez que permitem capturar padrões complexos e não lineares que se estendem por diversos períodos. [3] destaca que os modelos LSTM mostraram-se eficazes em capturar padrões complexos de séries hidrológicas, permitindo previsões de curto prazo com bom desempenho. De forma complementar, [4] reforça que as LSTM e suas variantes, têm se mostrado eficazes na modelagem de sistemas hidrológicos e climáticos não lineares, evidenciando a adequação dessa arquitetura para aplicações preditivas em séries temporais.

2.5 MÉTRICAS DE VALIDAÇÃO

A avaliação da qualidade preditiva dos modelos de séries temporais constitui uma etapa essencial no processo de modelagem, uma vez que possibilita verificar a proximidade entre os valores estimados e aqueles efetivamente observados. Para este trabalho, buscou-se respaldo na literatura especializada, de onde foram selecionadas as métricas de validação mais frequentemente empregadas. Assim, optou-se pela utilização do *Erro Médio Absoluto* (MAE) [12], da *Raiz do Erro Quadrático Médio* (RMSE) [15] e do *Erro Quadrático Médio* (MSE) [15].

As expressões para a MSE, bem como para a RMSE e MAE, são apresentadas, respectivamente, nas Eqs. 2.16, 2.17 e 2.18.

$$MSE = \frac{1}{n} \sum_{t=1}^n (y_t - \hat{y}_t)^2 \quad (2.16)$$

$$RMSE = \sqrt{\frac{1}{n} \sum_{t=1}^n (y_t - \hat{y}_t)^2} \quad (2.17)$$

$$MAE = \frac{1}{n} \sum_{t=1}^n |y_t - \hat{y}_t| \quad (2.18)$$

em que:

- y_t : Valor observado no instante t ;
- \hat{y}_t : Valor estimado ou previsto pelo modelo no instante t ;
- n : Número total de observações da série temporal;
- $(y_t - \hat{y}_t)$: Erro de previsão no instante t ;
- $(y_t - \hat{y}_t)^2$: Erro quadrático no instante t (utilizado no MSE e RMSE);

- $|y_t - \hat{y}_t|$: Erro absoluto no instante t (utilizado no MAE).

3. METODOLOGIA

3.1 DADOS

Os dados foram obtidos da base do Instituto Nacional de Meteorologia (INMET) [7], abrangendo variáveis medidas por hora na cidade de Uberlândia, no período de 2014 a 2024, período em que os dados apresentam melhor qualidade no sentido de não possuir dados faltantes.

Foram identificados valores inconsistentes, isto é, valores negativos nas séries de precipitação e umidade. No caso da precipitação, valores negativos foram substituídos por zero, uma vez que não é esperado que essa variável apresente registros abaixo deste limite. Para a série de umidade relativa do ar, os valores negativos foram substituídos pela média mensal correspondente, de modo a preservar a coerência física da variável.

Após tais correções, para as quatro variáveis, os dados diários foram agregados em médias mensais, com o objetivo de reduzir a presença de zeros excessivos e facilitar a modelagem. Os dados diários são oriundos de dados coletados por hora, em que a precipitação diária é o acumulo do dia e as variáveis temperatura, umidade e velocidade do vento é a média de 24 valores.

Não foram realizadas transformações adicionais nos dados. A divisão da base foi feita em conjuntos de treino e teste, respeitando uma proporção usualmente adotada na literatura para séries temporais, com o objetivo de avaliar a capacidade de generalização dos modelos. Os dados utilizados para treinamento compreende o período de janeiro de 2014 a setembro de 2024 e de outubro a dezembro de 2024 foram utilizados para validação dos modelos.

As análises e modelagens foram desenvolvidas utilizando a linguagem de programação Python, que oferece diversas bibliotecas para manipulação de dados, modelagem estatística e aprendizado de máquina. O ambiente escolhido para o desenvolvimento foi o Google Colab, uma plataforma colaborativa baseada na nuvem, que permite a execução de códigos Python [13] de forma interativa e com acesso facilitado a recursos computacionais.

A implementação dos modelos SARIMA, VAR e LSTM foi realizada por meio dos códigos apresentados nos Apêndices A.1, B.1 e C.1.

3.2 MODELO SARIMA

O modelo SARIMA (Seasonal Autoregressive Integrated Moving Average) foi escolhido como uma das abordagens estatísticas para previsão das variáveis climáticas consideradas neste estudo. Conforme discutido em [10], trata-se de uma extensão do modelo ARIMA que incorpora componentes sazonais, sendo particularmente útil para séries temporais que apresentam padrões de repetição ao longo do tempo.

Durante a etapa de implementação deste modelo, verificou-se que algumas bibliotecas necessitaram ser instaladas em versões específicas, dado que os pacotes utilizados eram compatíveis apenas com estas versões. Em especial, a biblioteca *NumPy* foi fixada na versão **1.25.2** e o *Pandas* na versão **2.3.1**, garantindo a consistência entre os módulos estatísticos empregados no estudo.

Inicialmente, aplicou-se o teste de Dickey-Fuller Aumentado (ADF) para verificar a estacionariedade das séries originais. Quando necessário, procedeu-se à diferenciação das séries, tanto em nível quanto sazonal, de modo a atender ao pressuposto fundamental de estacionariedade exigido para a modelagem [10]. Para a variável precipitação, por exemplo, não foi necessária diferenciação, enquanto para temperatura, umidade e velocidade

do vento realizou-se uma diferenciação em nível.

Em seguida, a seleção dos parâmetros do modelo SARIMA foi realizada por meio de uma função de busca automática [19], disponibilizada nas bibliotecas do ambiente Python [13], que permite identificar de forma sistemática as ordens dos polinômios autorregressivos (AR), de médias móveis (MA) e seus equivalentes sazonais. Essa escolha é baseada em critérios de informação como o AIC (Akaike Information Criterion) e o BIC (Bayesian Information Criterion), possibilitando a determinação do modelo mais parcimonioso, isto é, aquele que equilibra qualidade de ajuste e complexidade, conforme recomendação da literatura [2].

Após a estimação, avaliou-se a adequação dos modelos por meio da análise dos resíduos, que foram submetidos aos testes de Ljung-Box (para detecção de autocorrelação), Jarque-Bera (para normalidade) e ARCH (para heterocedasticidade). Esses testes forneceram uma avaliação abrangente da validade dos pressupostos do modelo e da consistência das estimativas obtidas. Embora em alguns casos tenha havido violações parciais dos pressupostos de normalidade e homocedasticidade (Tabela 4.3), os modelos foram mantidos com o intuito de permitir a comparação com os demais métodos.

Por fim, as previsões foram realizadas para o período de outubro a dezembro de 2024, abrangendo as quatro variáveis de interesse: precipitação, temperatura, umidade e velocidade do vento. O desempenho dos modelos foi avaliado por meio das métricas RMSE e MAE, já apresentadas na Seção 2, e os resultados estão detalhados na Seção 4.

3.3 MODELO VAR

Para o modelo VAR, a escolha da ordem ótima foi realizada de forma automática, similar ao que foi feito para o modelo ARIMA, utilizando o **Critério de Informação Akaike (AIC)**, como apresentado na Seção 2.3. A estimativa dos parâmetros foi realizada de acordo com o método dos **mínimos quadrados ordinários (OLS)**, descrito nessa mesma seção, em que cada equação do modelo VAR é tratada como uma regressão linear múltipla, com as variáveis defasadas como preditores para cada variável dependente. Esse procedimento garante estimadores consistentes e eficientes quando as séries são estacionárias.

A busca automática pela melhor ordem do modelo foi realizada utilizando a função de busca automática [18] disponível no Python [13]. Este procedimento facilita a seleção da ordem mais adequada para o modelo, sem a necessidade de uma análise manual extensiva das defasagens. A utilização dessa função automatizada assegura a obtenção do modelo VAR com a melhor configuração, garantindo eficiência e precisão na modelagem de séries temporais multivariadas.

A ordem ótima do modelo foi definida a partir do critério de informação AIC, assegurando a escolha de uma estrutura parcimoniosa e ajustada aos dados. Antes da estimação, foi verificada a estacionariedade das séries por meio do teste ADF, com aplicação de diferenciação quando necessário. Após o ajuste, a adequação do modelo foi avaliada por meio de testes estatísticos aplicados aos resíduos, incluindo o teste de Portmanteau (autocorrelação), o teste ARCH (heterocedasticidade condicional) e o teste de Jarque-Bera (normalidade), garantindo maior robustez às inferências.

Além disso, para investigar a relação de causalidade entre as variáveis do modelo VAR, foi aplicado teste de causalidade de Granger. Esse teste busca determinar se uma variável pode ajudar a prever outra, considerando que uma variável "causa" a outra no sentido de que suas defasagens fornecem informação relevante para prever seu comportamento futuro. A causalidade de Granger é um método amplamente utilizado para identificar relações dinâmicas entre séries temporais, sendo essencial para a análise de dependência temporal entre as variáveis em estudo.

Por fim, as previsões foram realizadas para o período de outubro a dezembro de 2024, abrangendo as quatro variáveis de interesse. O desempenho do modelo foi avaliado por meio das métricas RMSE e MAE, já apresentadas na Seção 2, e os resultados estão detalhados na Seção 4.

3.4 MODELO LSTM (LONG SHORT-TERM MEMORY)

A arquitetura do modelo LSTM foi definida por meio de uma função de busca automática, responsável por selecionar a configuração mais adequada quanto ao número de camadas e de neurônios da rede. Essa abordagem, disponível em bibliotecas do ambiente Python, permite identificar automaticamente a melhor estrutura de rede para cada variável analisada, assegurando maior eficiência no processo de modelagem.

O número de camadas e neurônios variou de acordo com as características específicas de cada série, garantindo equilíbrio entre capacidade preditiva e eficiência computacional. O treinamento da rede foi realizado com a função de perda baseada no erro quadrático médio (MSE) e otimização por meio do algoritmo Adam, em múltiplas épocas até a convergência.

As previsões foram realizadas para o período de outubro a dezembro de 2024. Para avaliar o desempenho do modelo, utilizaram-se as métricas RMSE e MAE, já apresentadas na Seção 2, permitindo a comparação direta entre o LSTM e os modelos estatísticos tradicionais.

Estudos recentes reforçam a eficácia dessa abordagem. Fernandes ([4]) destaca que as unidades LSTM e suas variantes, como as GRU, têm se mostrado altamente eficazes na modelagem de sistemas hidrológicos não lineares e variantes no tempo. De forma semelhante, Bem-Haja ([3]) evidencia que modelos LSTM são capazes de capturar padrões complexos em séries temporais hidrológicas, possibilitando previsões de curto prazo com desempenho satisfatório. Tais constatações corroboram a adequação da aplicação de redes LSTM em contextos climáticos e ambientais, em razão de sua estrutura de memória e mecanismos de portas que potencializam a captura de padrões de longo alcance.

Durante o processo de treinamento, os pesos sinápticos da rede são ajustados de forma iterativa com o objetivo de minimizar o erro entre os valores previstos e observados. Esse procedimento ocorre em três etapas principais: propagação direta, retropropagação do erro e atualização dos pesos. Na propagação direta, os dados percorrem a rede camada por camada, sendo transformados por meio de combinações lineares dos pesos e vieses, seguidas de funções de ativação. Em seguida, o erro é calculado pela função de perda, neste caso o MSE. A retropropagação utiliza derivadas parciais para estimar o gradiente da função de perda em relação a cada peso, indicando o quanto cada parâmetro contribuiu para o erro final. Como explica Haykin ([6]), esse mecanismo é essencial para orientar os ajustes dos parâmetros internos. Por fim, a atualização dos pesos é realizada por algoritmos de otimização, como o gradiente descendente e suas variantes, em pequenas quantidades controladas pela taxa de aprendizado.

Esse processo é repetido ao longo de várias iterações ou épocas, permitindo que a rede aprimore progressivamente sua capacidade preditiva. Como ressalta Bem-Haja ([3]), a definição adequada da arquitetura, aliada ao treinamento iterativo, possibilita às LSTM representar de forma eficiente dependências complexas em séries temporais. No presente trabalho, a arquitetura da rede foi definida por uma função de busca automática [11] implementada no python [13], garantindo que cada variável fosse treinada em uma estrutura ajustada às suas características específicas.

3.5 MÉTRICAS DE VALIDAÇÃO

As métricas utilizadas para avaliar o desempenho dos modelos foram o *Erro Quadrático Médio* (MSE), a *Raiz do Erro Quadrático Médio* (RMSE) e o *Erro Médio Absoluto* (MAE), já apresentadas na Seção 2. Essas medidas permitem quantificar a acurácia das previsões, sendo o RMSE mais sensível a erros de maior magnitude, enquanto o MAE expressa a magnitude média dos erros absolutos, e o MSE fornece uma medida direta da variabilidade dos erros quadráticos. Dessa forma, as três métricas complementam-se na avaliação do ajuste e da qualidade preditiva dos modelos.

Assim, todos os modelos ajustados (SARIMA, VAR e LSTM) foram avaliados utilizando as mesmas métricas, o que possibilitou a comparação direta de seus desempenhos preditivos. Essa abordagem assegura que as diferenças nos resultados estejam associadas às características próprias de cada técnica, e não a critérios de

avaliação distintos.

4. RESULTADOS

4.1 ANÁLISE DESCRIPTIVA DOS DADOS

O teste de Dickey-Fuller Aumentado (ADF) foi aplicado para avaliar a estacionariedade das séries. Como apenas a série de precipitação apresentou estacionariedade, aplicou-se diferenciação nas demais séries, enquanto a série de precipitação foi mantida em sua forma original. Os resultados antes e após a diferenciação são apresentados na Tabela 4.1.

Tabela 4.1: P-valores do teste ADF antes e após a diferenciação

Variável	Antes da diferenciação	Após a diferenciação
Precipitação	$2,99 \times 10^{-3}$	$2,99 \times 10^{-3}$
Temperatura	0,88	$4,59 \times 10^{-21}$
Umidade	0,49	$2,07 \times 10^{-20}$
Vento	0,98	$5,44 \times 10^{-12}$

Os gráficos das séries temporais, após as transformações descritas na seção de metodologia, são apresentados nas Figuras 4.1 a 4.4. As adequações aplicadas foram: (i) na série de precipitação, substituição de valores negativos por zero, por não haver suporte físico para medições abaixo desse limite; (ii) na série de umidade relativa do ar, substituição de valores menores ou iguais a zero pela média mensal correspondente, preservando a coerência física da variável; e (iii) agregação dos registros diários em médias mensais, com o objetivo de reduzir a presença de zeros excessivos e favorecer a modelagem.

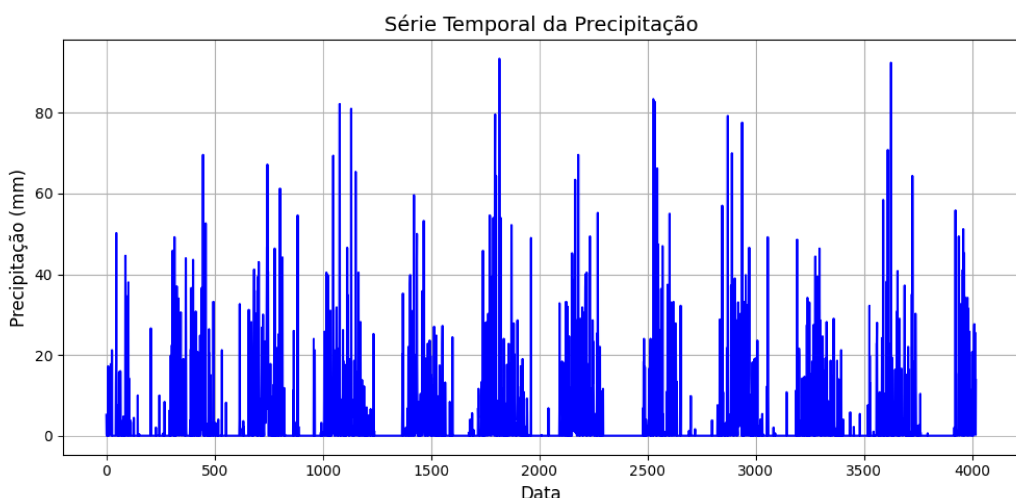


Figura 4.1: Série temporal da variável precipitação.

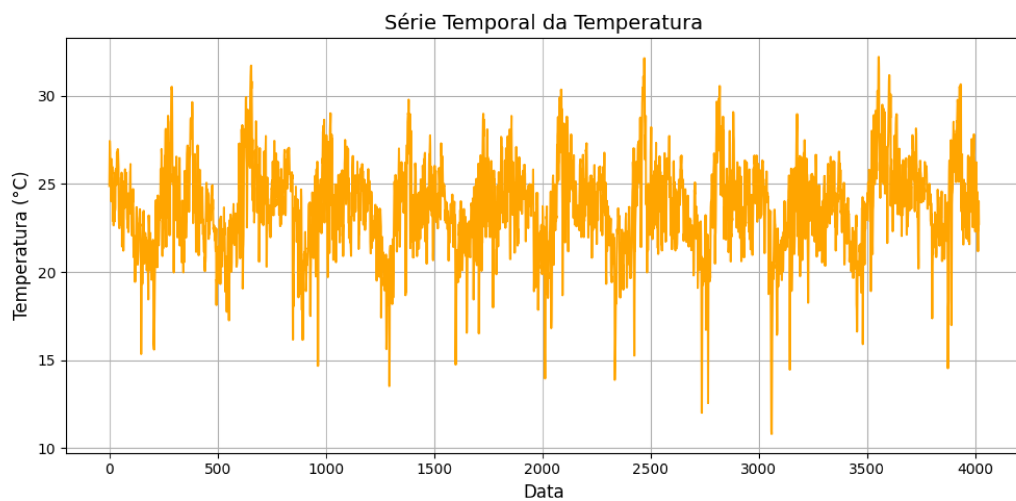


Figura 4.2: Série temporal da variável temperatura.

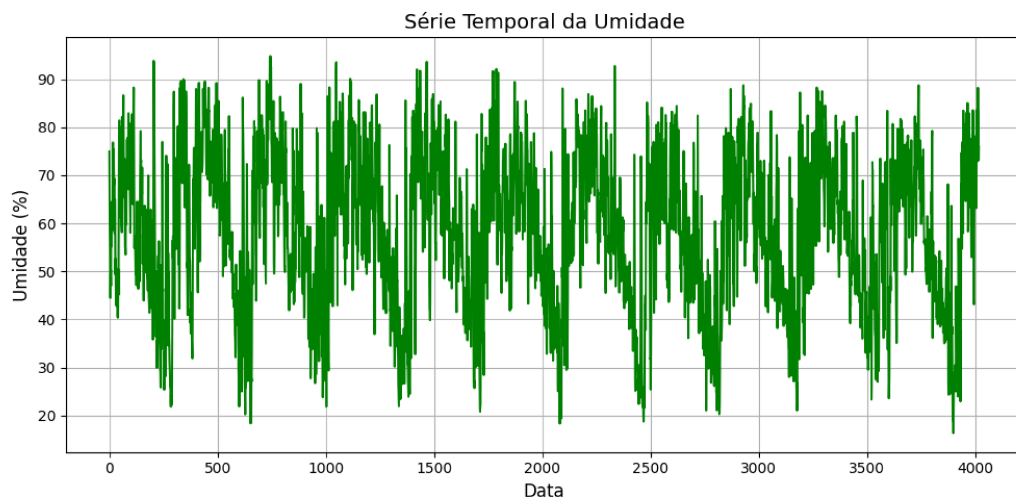


Figura 4.3: Série temporal da variável umidade.

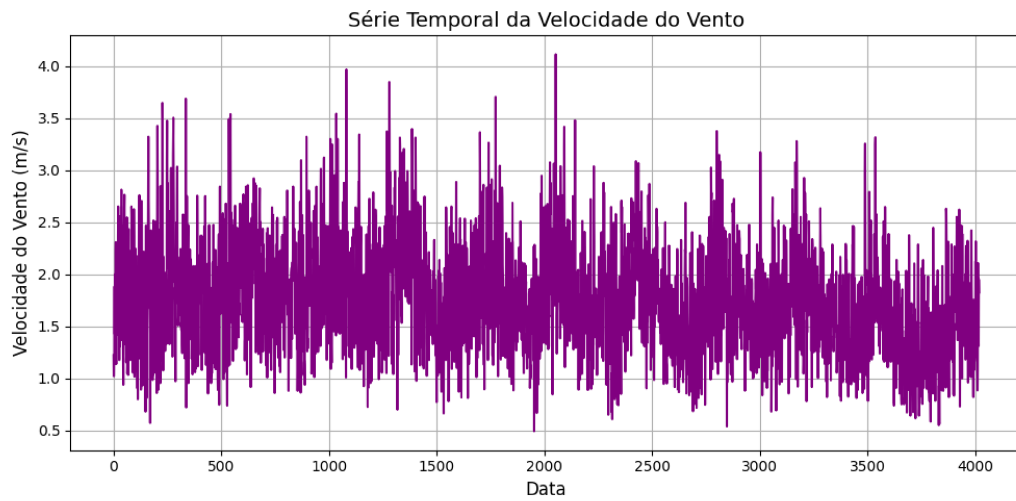


Figura 4.4: Série temporal da variável velocidade do vento.

4.2 MODELO SARIMA

Para a modelagem, utilizou-se a função de busca automática, que selecionou os modelos mais adequados para cada série de acordo com os critérios de informação. Os resultados foram:

- **Precipitação:** ARIMA(1, 0, 0)(1, 0, 1, 12)[12]

$$Y_t = 2,648 \times 10^{-5} + 0,3275 Y_{t-1} + 0,9886 e_{t-1} + 0,9885 Y_{t-12} + 0,9099 e_{t-12} - 0,1312 e_{t-24}$$

- **Temperatura:** ARIMA(1, 0, 1)(1, 0, 2, 12)[12]

$$Y_t = 0,0405 - 0,1598 Y_{t-1} + 0,9910 Y_{t-12} + 0,7709 e_{t-12}$$

- **Vento:** ARIMA(2, 0, 1)(1, 0, 1, 12)[12]

$$Y_t = 0,1802 Y_{t-1} + 0,1714 Y_{t-2} + 0,9770 Y_{t-12} + 0,9247 e_{t-1} + 0,8080 e_{t-12}$$

- **Umidade:** ARIMA(5, 0, 1)(1, 0, 1, 12)[12]

$$Y_t = 0,2905 Y_{t-1} + 0,0274 Y_{t-2} - 0,0939 Y_{t-3} - 0,0441 Y_{t-4} - 0,1418 Y_{t-5} + 0,9886 e_{t-1} + 0,9641 Y_{t-12} + 0,6466 e_{t-12}$$

Os critérios de avaliação AIC e BIC para cada modelo ajustado foram:

Tabela 4.2: Valores de AIC e BIC para cada variável analisada

Variável	AIC	BIC
Precipitação	600,50	614,76
Temperatura	374,61	394,57
Vento	-103,05	-85,93
Umidade	844,46	870,12

A verificação dos pressupostos do modelo VAR foi realizada por meio de três testes distintos: Ljung-Box (autocorrelação dos resíduos), Jarque-Bera (normalidade dos resíduos) e ARCH (heterocedasticidade). Cada um desses testes avalia um pressuposto específico do modelo, possibilitando uma análise mais abrangente de sua adequação. Os valores de *p*-valor obtidos encontram-se na Tabela 4.3.

Tabela 4.3: Resultados dos testes de diagnóstico dos resíduos dos modelos.

Variável	Ljung-Box (lag=12)	Jarque-Bera	ARCH
Umidade	1,00	0,01	0,02
Precipitação	0,05	0,00	0,57
Temperatura	0,91	0,65	0,21
Vento	0,85	0,33	0,01

No teste de Ljung-Box, os valores de *p* obtidos foram superiores a 0,05 em todas as variáveis, indicando ausência de autocorrelação serial significativa nos resíduos e, portanto, atendendo a esse pressuposto. Já no teste de Jarque-Bera, os resultados mostraram que, em alguns casos, o pressuposto de normalidade não foi satisfeito, uma vez que determinados *p*-valores ficaram abaixo de 0,05, sugerindo rejeição da hipótese nula de normalidade dos resíduos. Por fim, o teste ARCH revelou indícios de heterocedasticidade para certas variáveis, dado que alguns *p*-valores também se mostraram inferiores a 0,05, caracterizando violação do pressuposto de homocedasticidade.

De forma geral, conclui-se que os resíduos do modelo VAR não apresentam autocorrelação serial, porém há violações nos pressupostos de normalidade e homocedasticidade para algumas variáveis. Esses resultados evidenciam que, embora o modelo capture adequadamente a dinâmica temporal das séries, certas limitações permanecem na distribuição e na variabilidade dos resíduos.

As Tabelas 4.4 a 4.7 apresentam a comparação entre os valores observados e os valores previstos pelo modelo, bem como os respectivos intervalos de confiança de 95% para cada variável analisada (*precipitação, temperatura, vento e umidade*). Além disso, no rodapé de cada tabela, são reportados os valores das métricas **RMSE** (Root Mean Squared Error), **MSE** (Mean Squared Error) e **MAE** (Mean Absolute Error), que permitem quantificar a acurácia das previsões do modelo. Ressalta-se que a precisão das estimativas para precipitação e umidade é baixa. No caso da precipitação (Tabela 4.4) inclui, inclusive valores negativos e no caso da umidade (Tabela 4.7), valores acima de 100%. Essas estimativas não são coerentes com os valores que estas variáveis podem, de fato, assumirem.

Tabela 4.4: Valores observados, previstos e intervalos de confiança (95%) para precipitação.

Mês	Observado	Previsto	IC 95%
10-2024	9,05	4,07	[-0,26 ; 8,40]
11-2024	12,34	7,24	[2,86 ; 11,63]
12-2024	6,85	9,53	[5,14 ; 13,92]

RMSE: 2,36 MSE: 5,58 MAE: 2,31

Tabela 4.5: Valores observados, previstos e intervalos de confiança (95%) para temperatura.

Mês	Observado	Previsto	IC 95%
10-2024	25,51	26,06	[24,28 ; 27,83]
11-2024	24,03	24,61	[20,71 ; 28,51]
12-2024	24,29	24,32	[18,26 ; 30,38]

RMSE: 0,67 MSE: 0,44 MAE: 0,59

Tabela 4.6: Valores observados, previstos e intervalos de confiança (95%) para vento.

Mês	Observado	Previsto	IC 95%
10-2024	1,65	1,65	[1,36 ; 1,93]
11-2024	1,71	1,53	[0,88 ; 2,17]
12-2024	1,43	1,47	[0,46 ; 2,47]

RMSE: 0,19 MSE: 0,03 MAE: 0,18

Tabela 4.7: Valores observados, previstos e intervalos de confiança (95%) para umidade.

Mês	Observado	Previsto	IC 95%
10-2024	59,07	52,99	[41,78 ; 64,21]
11-2024	70,50	59,35	[34,46 ; 84,23]
12-2024	71,34	67,63	[28,93 ; 106,33]

RMSE: 2,04 MSE: 4,15 MAE: 1,57

Nas Figuras de 4.5 a 4.8 são apresentados os gráficos das previsões obtidas para cada variável, acompanhados de seus respectivos intervalos de confiança, de modo a ilustrar o desempenho preditivo do modelo.

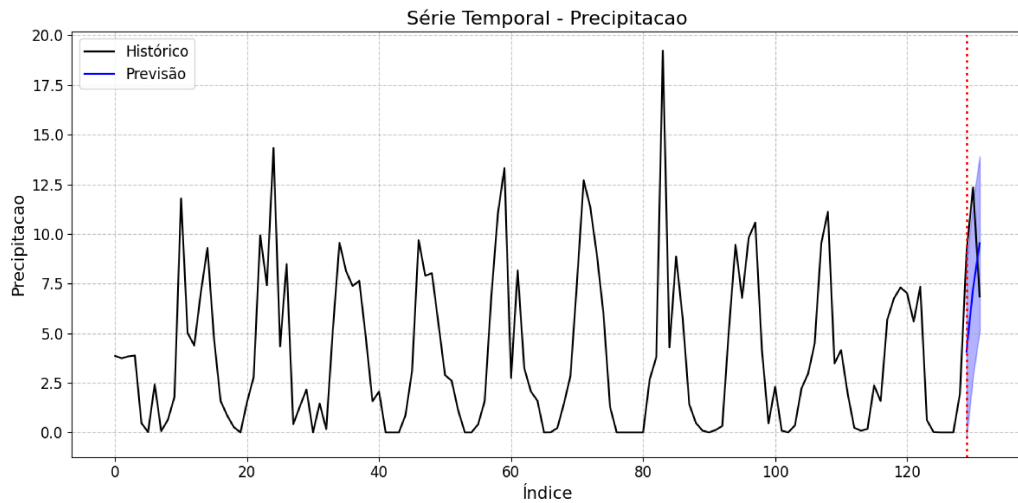


Figura 4.5: Previsão da série temporal de precipitação utilizando o modelo SARIMA.

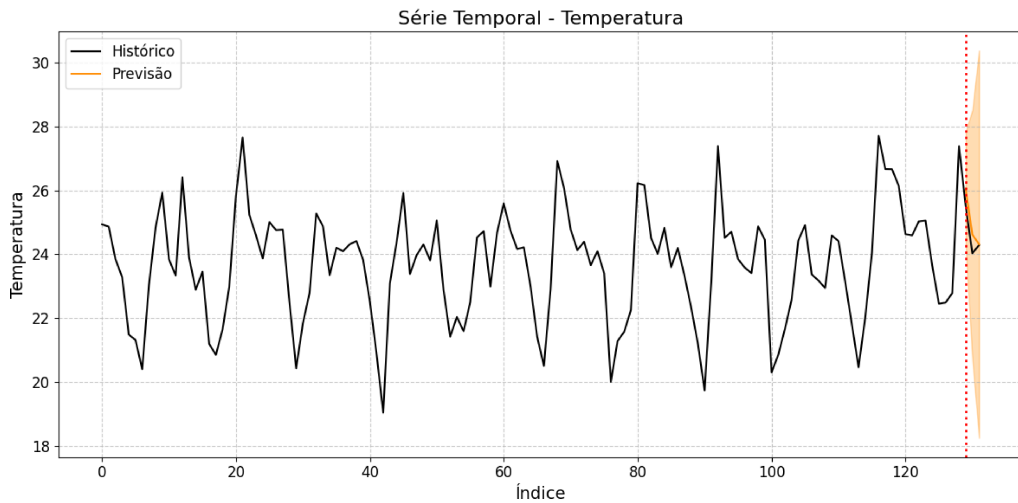


Figura 4.6: Previsão da série temporal de temperatura utilizando o modelo SARIMA.

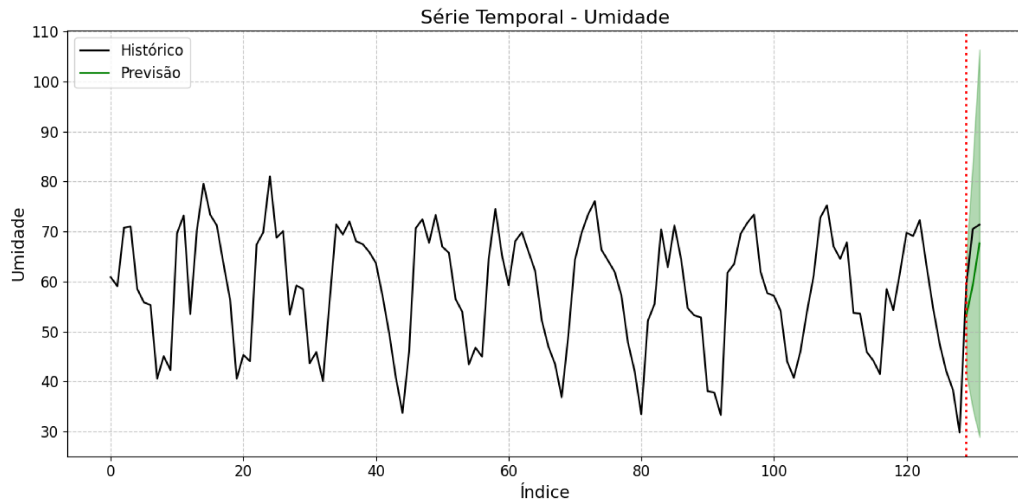


Figura 4.7: Previsão da série temporal de umidade utilizando o modelo SARIMA.

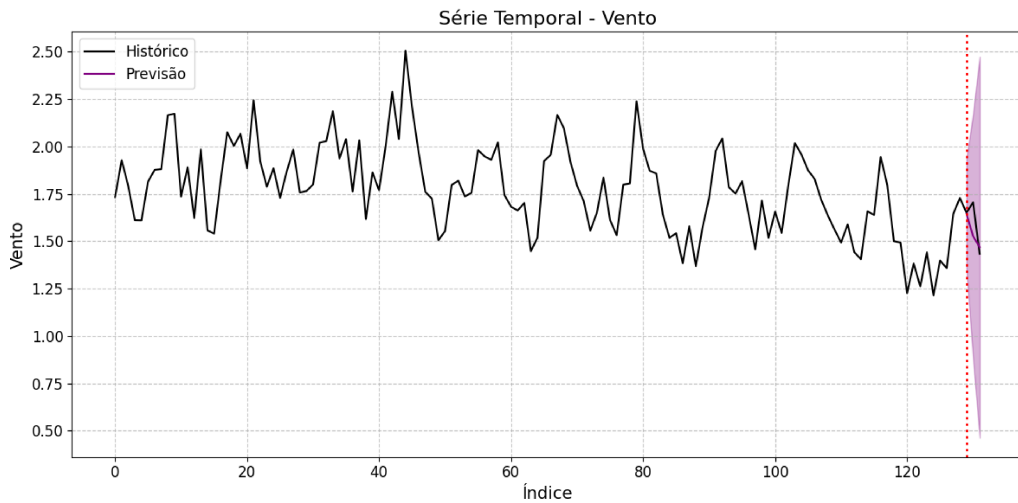


Figura 4.8: Previsão da série temporal de vento utilizando o modelo SARIMA.

4.3 MODELO VAR

Para o modelo VAR, a escolha da ordem ótima foi realizada de forma automática, utilizando o Critério de Informação Akaike (AIC), conforme apresentado na Seção 3.3. Esse critério foi adotado para selecionar a ordem do modelo, com o objetivo de garantir a melhor configuração para as variáveis do modelo. A busca automática pela ordem ideal foi realizada com a função de busca automática no Python, que ajusta modelos VAR e seleciona a ordem com base no critério AIC. A função de busca automática selecionou o número máximo de defasagens arbitrado, ou seja, 20. Como resultado dessa busca, foi escolhida a ordem 20, pois ela apresentou o menor valor de AIC entre as opções testadas.

O modelo VAR estimado resultou em um conjunto de equações que descrevem a relação dinâmica entre as variáveis analisadas. Cada equação representa uma variável dependente em função das defasagens de todas as séries incluídas. As tabelas completas com os coeficientes estimados encontram-se no Apêndice, organizadas em blocos para cada variável dependente.

Para avaliar a adequação do modelo VAR, foram aplicados diferentes testes estatísticos. Primeiramente, utilizou-se o teste de causalidade de Granger para verificar relações de precedência temporal entre as variáveis. Além disso, foram aplicados testes de diagnóstico sobre os resíduos do modelo, incluindo: (i) o teste de Portmanteau, para identificar autocorrelação; (ii) o teste ARCH, para verificar heterocedasticidade condicional; e (iii) o teste de normalidade de Jarque-Bera. A Tabela 4.8 resume os resultados obtidos.

Tabela 4.8: Resultados (valores-p) do teste de causalidade de Granger e testes de diagnóstico aplicados ao modelo VAR

Variável	Granger	Portmanteau	ARCH	Jarque-Bera
Precipitação	0,00	0,93	0,05	0,50
Temperatura	0,32	0,57	0,40	0,84
Umidade	0,01	0,03	0,76	0,20
Vento	0,12	0,91	0,79	0,70

A análise dos resultados mostra que o teste de Granger indica causalidade estatisticamente significativa apenas para as variáveis Precipitação (p -valor = 0,000) e Umidade (p -valor = 0,009), enquanto as demais não apresentaram evidências de causalidade. No contexto de um modelo VAR com objetivo preditivo, o teste de causalidade de Granger é uma ferramenta complementar que auxilia na compreensão das interações dinâmicas entre as variáveis, mas não é um critério obrigatório para a continuidade da modelagem. Ainda que nem todas as relações apresentem causalidade significativa, o modelo VAR permanece válido, pois sua principal finalidade

é fornecer previsões. Assim, mesmo na ausência de causalidade estatisticamente significativa entre todas as variáveis, a análise com o VAR pode prosseguir normalmente. Em geral a manutenção das variáveis, ainda que com causalidade não significativa, tende a contribuir com a capacidade de explicação do modelo. No teste de Portmanteau, observa-se que apenas a variável Umidade (p -valor = 0,028) sugere a presença de autocorrelação dos resíduos, o que pode comprometer a qualidade do ajuste para essa série. Os testes ARCH não indicaram problemas de heterocedasticidade condicional, já que todos os p -valores são superiores ao nível de 5%. Por fim, o teste de Jarque-Bera não rejeitou a hipótese de normalidade dos resíduos em nenhuma das variáveis, com p -valores todos acima de 0,05.

As previsões foram realizadas para o período de outubro a dezembro de 2024, utilizando o comando como apresentado do Apêndice B.1.

As Tabelas 4.9 a 4.12 apresentam a comparação entre os valores observados e os valores previstos pelo modelo, bem como os respectivos intervalos de confiança de 95% para cada variável analisada (*precipitação, temperatura, umidade e vento*). Além disso, no rodapé de cada tabela, são reportados os valores das métricas **RMSE** (Root Mean Squared Error), **MSE** (Mean Squared Error) e **MAE** (Mean Absolute Error), que permitem quantificar a acurácia das previsões do modelo.

Tabela 4.9: Valores observados, previstos e intervalos de confiança (95%) para precipitação.

Mês	Observado	Previsto	IC 95%
10-2024	9,05	11,30	[8,00 ; 14,60]
11-2024	12,34	10,26	[6,31 ; 14,20]
12-2024	6,85	11,62	[7,59 ; 15,64]
RMSE: 3,27		MSE: 10,72	MAE: 3,03

Tabela 4.10: Valores observados, previstos e intervalos de confiança (95%) para temperatura.

Mês	Observado	Previsto	IC 95%
10-2024	25,51	29,50	[27,47 ; 31,53]
11-2024	24,03	27,70	[23,33 ; 32,08]
12-2024	24,29	25,95	[19,02 ; 32,86]
RMSE: 3,27		MSE: 10,72	MAE: 3,11

Tabela 4.11: Valores observados, previstos e intervalos de confiança (95%) para umidade.

Mês	Observado	Previsto	IC 95%
10-2024	59,07	56,09	[46,36 ; 65,81]
11-2024	70,50	63,69	[40,63 ; 86,75]
12-2024	71,34	80,41	[43,42 ; 117,40]
RMSE: 6,77		MSE: 45,85	MAE: 6,29

Tabela 4.12: Valores observados, previstos e intervalos de confiança (95%) para vento.

Mês	Observado	Previsto	IC 95%
10-2024	1,65	1,32	[1,04 ; 1,59]
11-2024	1,71	1,37	[0,71 ; 2,04]
12-2024	1,43	1,29	[0,23 ; 2,35]
RMSE: 0,28		MSE: 0,08	MAE: 0,27

Os gráficos de previsão são apresentados nas Figuras 4.9 a 4.12. Destaca-se que, em alguns casos, a umidade

ultrapassou 100% nos limites superiores, o que reforça que o modelo não conta com restrições matemáticas para impor restrições físicas às variáveis.

Nas Figuras 4.9 a 4.12 são apresentados os gráficos das previsões obtidas para cada variável, acompanhados de seus respectivos intervalos de confiança, de modo a ilustrar o desempenho preditivo do modelo.

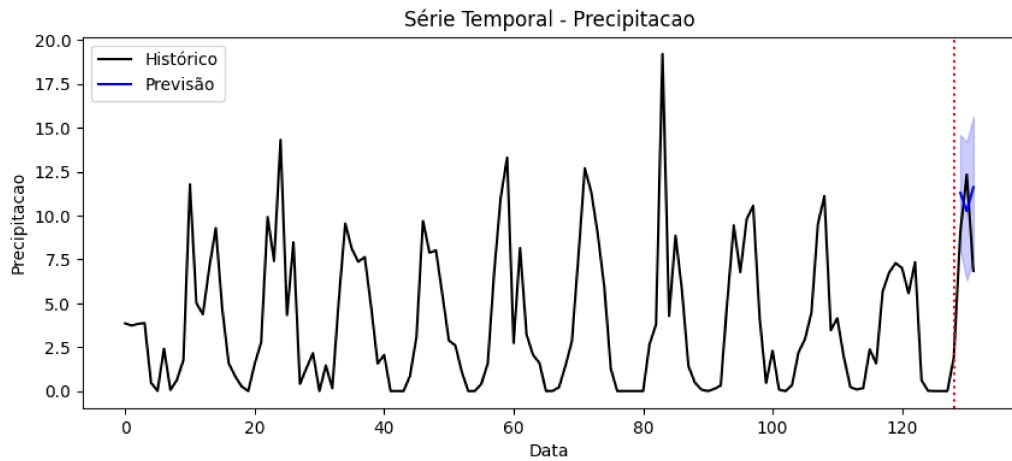


Figura 4.9: Previsão da série temporal de precipitação utilizando o modelo VAR.

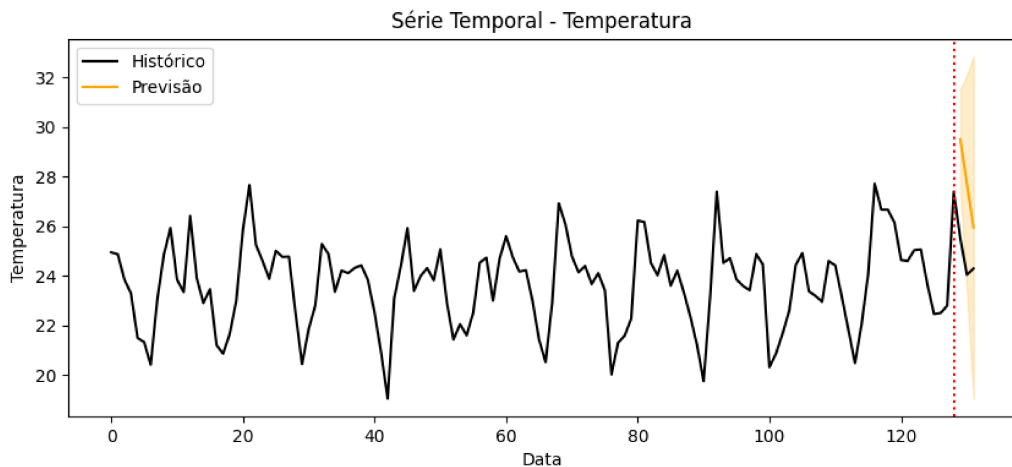


Figura 4.10: Previsão da série temporal de temperatura utilizando o modelo VAR.

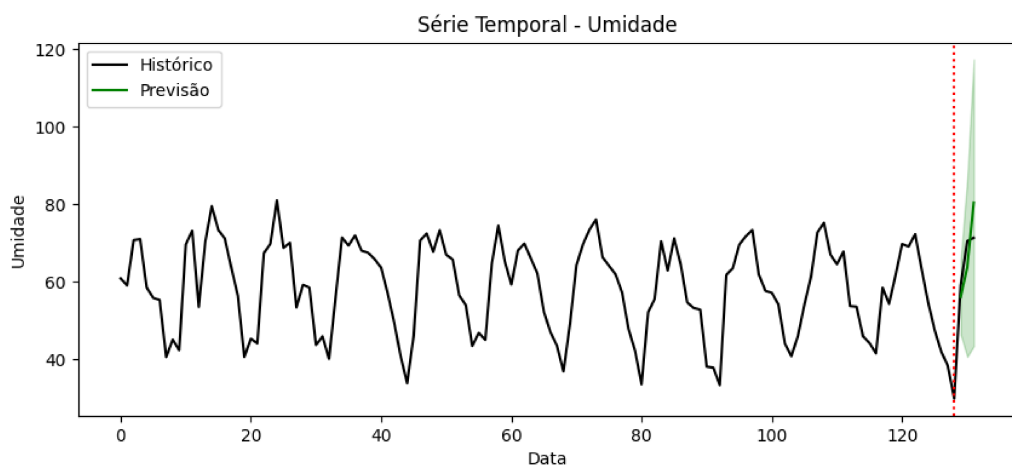


Figura 4.11: Previsão da série temporal de umidade utilizando o modelo VAR.

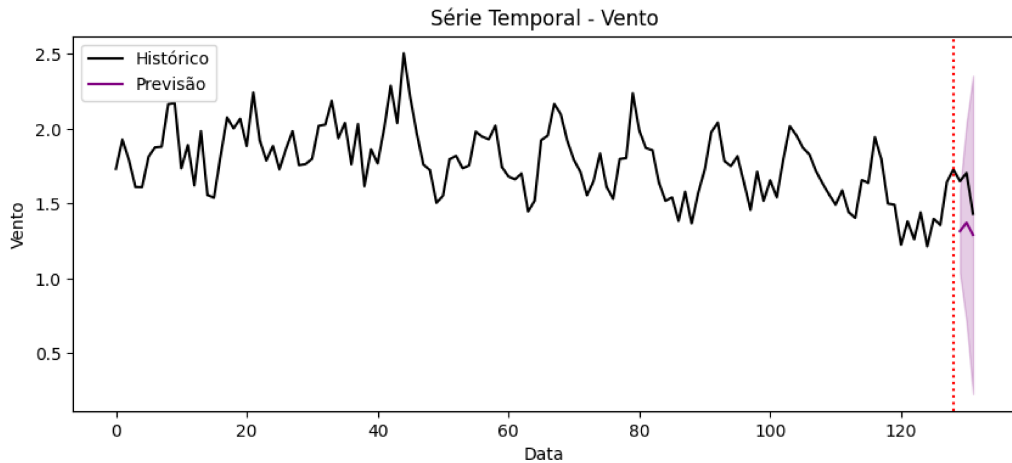


Figura 4.12: Previsão da série temporal de vento utilizando o modelo VAR.

4.4 MODELO LSTM (LONG SHORT-TERM MEMORY)

Nesta seção são apresentados os resultados obtidos a partir da rede neural LSTM. Este modelo é capaz de capturar dependências não lineares e de longo prazo nas séries temporais, mostrando-se adequado para aplicações preditivas em variáveis com padrões complexos. No entanto, ao contrário dos modelos SARIMA e VAR, o LSTM não fornece intervalos de confiança, motivo pelo qual os resultados apresentados a seguir incluem apenas os valores observados, previstos e as métricas de erro.

Assim como para as demais modelagens, as previsões foram realizadas para o período de outubro a dezembro de 2024. Nas Tabelas 4.13 a 4.16, respectivamente para as variáveis precipitação, temperatura, umidade e vento, são apresentados os valores observados e previstos, que permitem verificar a eficiência da modelagem. As métricas de avaliação RMSE, MSE e MAE também são apresentadas e permitem a comparação das diferentes modelagens.

Tabela 4.13: Valores observados e previstos para precipitação utilizando o modelo LSTM.

Mês	Observado	Previsto
10-2024	9,05	5,05
11-2024	1,34	7,45
12-2024	6,85	8,16
RMSE: 3,72	MSE: 8,05	MAE: 3,40

Tabela 4.14: Valores observados e previstos para temperatura utilizando o modelo LSTM.

Mês	Observado	Previsto
10-2024	25,51	28,64
11-2024	24,03	27,53
12-2024	24,29	26,58
RMSE: 3,02	MSE: 9,10	MAE: 2,97

Tabela 4.15: Valores observados e previstos para umidade utilizando o modelo LSTM.

Mês	Observado	Previsto
10-2024	59,07	55,28
11-2024	70,50	62,29
12-2024	71,34	62,48
RMSE: 7,31	MSE: 53,41	MAE: 6,95

Tabela 4.16: Valores observados e previstos para velocidade do vento utilizando o modelo LSTM.

Mês	Observado	Previsto
10-2024	1,65	1,71
11-2024	1,71	1,48
12-2024	1,43	1,49
RMSE: 0,14	MSE: 0,02	MAE: 0,12

A análise preditiva com a rede neural LSTM incluindo sua arquitetura, ou seja, suas camadas e unidades ajustadas, mostrou-se capaz de reter informações relevantes ao longo da série temporal, capturando tendências e padrões. Entretanto as previsões com este modelo apresentaram erros grandes, conforme métricas, quando comparado com o modelo SARIMA. Redes neurais, em geral, são treinadas com grande quantidade de dados e esta pode ser uma justificativa para a falta de precisão das estimativas obtidas com a LSTM. Além disso, a arquitetura da rede pode interferir na qualidade das previsões.

Nas Figuras de 4.13 a 4.16, são apresentados os gráficos contendo os valores previstos em comparação com os valores observados, para cada uma das variáveis, o que permite verificar visualmente a capacidade do modelo em reproduzir comportamentos da série.

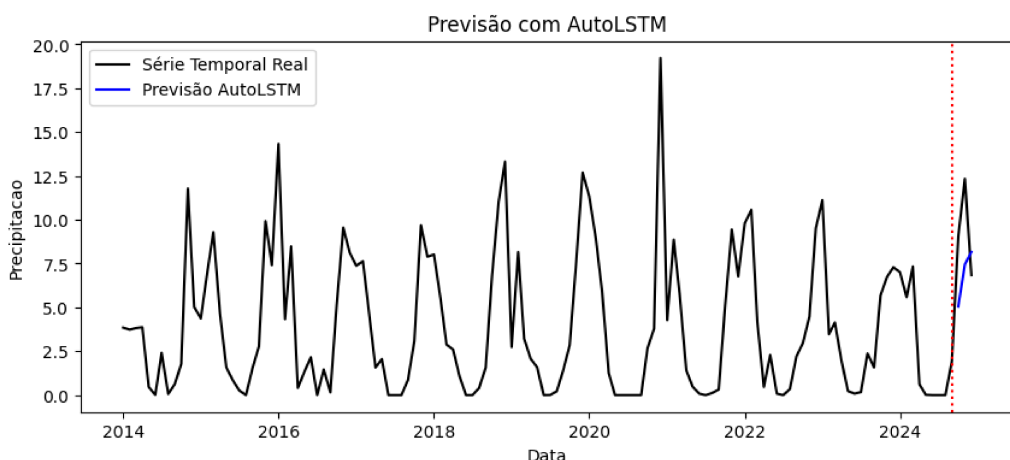


Figura 4.13: Previsão da série temporal de precipitação utilizando o modelo LSTM.

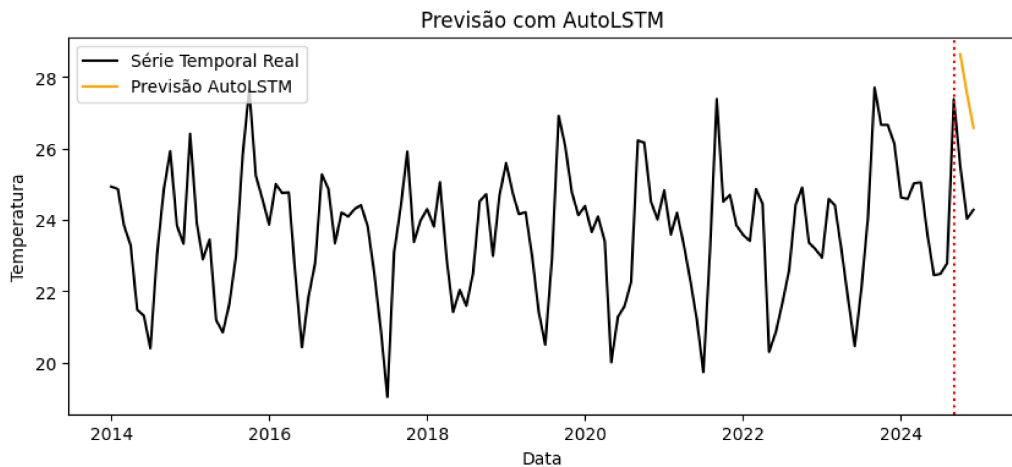


Figura 4.14: Previsão da série temporal de temperatura utilizando o modelo LSTM.

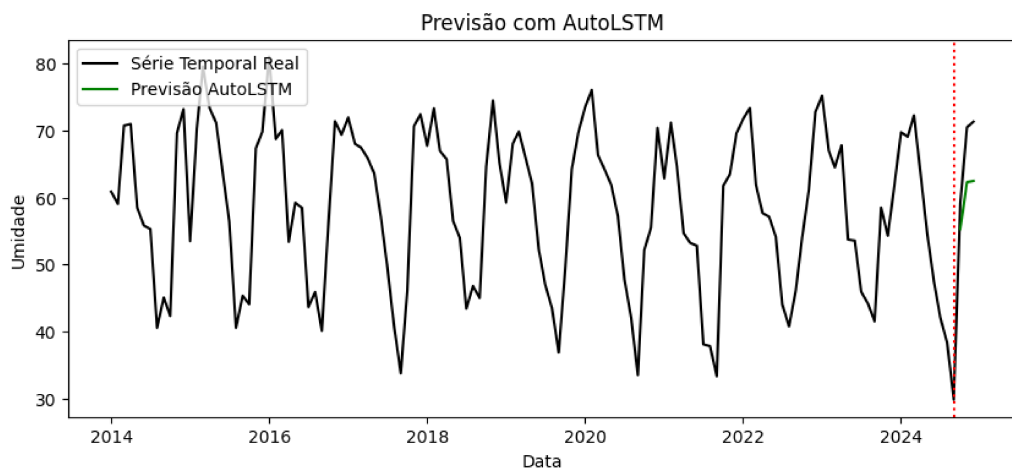


Figura 4.15: Previsão da série temporal de umidade utilizando o modelo LSTM.

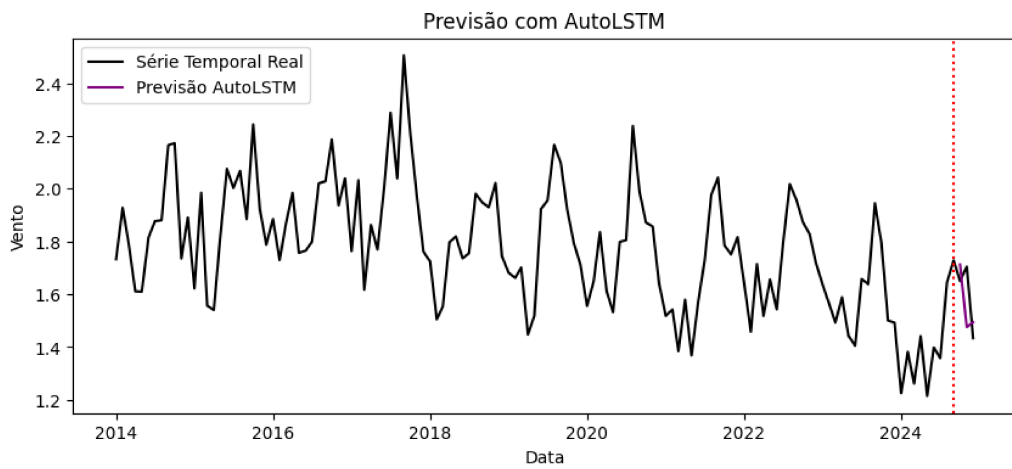


Figura 4.16: Previsão da série temporal de vento utilizando o modelo LSTM.

A arquitetura das redes LSTM utilizadas neste estudo foi definida por uma função de busca automatica, que selecionou a configuração mais adequada aos dados de cada variável.

Para a precipitação e temperatura, a rede apresentou duas camadas com 32 neurônios cada, enquanto para

a umidade a arquitetura foi mais simples, com duas camadas de 16 neurônios. Já a variável vento demandou uma rede mais profunda, composta por três camadas e 128 neurônios por camada.

Tabela 4.17: Arquitetura do modelo LSTM definida automaticamente para cada variável.

Variável	Número de camadas	Neurônios por camada
Precipitação	2	32
Temperatura	2	32
Umidade	2	16
Vento	3	128

Essas diferenças refletem a complexidade dos padrões presentes em cada série temporal. Variáveis como precipitação, que possuem forte variabilidade mas também padrões sazonais claros, podem ser representadas de forma eficiente com arquiteturas mais compactas. Por outro lado, a velocidade do vento tende a apresentar maior instabilidade e ruído, exigindo uma rede mais profunda e com mais unidades de memória para capturar suas flutuações. Nesse contexto, espera-se que a previsão da precipitação seja mais estável e precisa em comparação à do vento, enquanto variáveis intermediárias, como temperatura e umidade, apresentam comportamento equilibrado em termos de complexidade e exigência de arquitetura.

5. CONCLUSÕES

Este trabalho analisou séries temporais meteorológicas referentes às variáveis de precipitação, temperatura, umidade e velocidade do vento, empregando três diferentes abordagens: os modelos SARIMA, VAR e LSTM. A aplicação das técnicas permitiu compreender o comportamento das séries e avaliar o desempenho preditivo de cada modelo em contextos distintos.

As análises demonstraram que os procedimentos automáticos de seleção de parâmetros, como o uso das funções tanto para os modelos SARIMA, quanto VAR e LSTM, foram eficazes para identificar configurações parcimoniosas e adequadas às características das séries. No caso do VAR, a escolha da ordem com base em critérios de informação também garantiu consistência e comparabilidade com as demais técnicas, ainda que seus resultados tenham se mostrado menos satisfatórios.

A comparação dos modelos por meio das métricas MSE, RMSE e MAE revelou diferenças significativas entre as abordagens. O modelo SARIMA obteve os melhores resultados para precipitação, temperatura e umidade, evidenciando sua robustez na captura de padrões sazonais e na maior estabilidade das previsões. No entanto, alguns pressupostos do modelo não foram atendidos, o que pode impactar as inferências, embora ele ainda possa ser utilizado para previsões. O modelo LSTM destacou-se na previsão da velocidade do vento, uma variável caracterizada por maior instabilidade e ruído, demonstrando a flexibilidade dessa arquitetura em lidar com séries temporais mais complexas e não lineares. Por outro lado, o modelo VAR apresentou erros consistentemente mais elevados em todas as variáveis, indicando limitações em sua aplicação neste contexto específico. Portanto, os modelos devem ser utilizados com cautela, especialmente naquelas áreas onde seus pressupostos não são plenamente atendidos.

Portanto, se o interesse principal for nas variáveis precipitação, temperatura ou umidade indica-se utilizar o modelo SARIMA. Estas variáveis podem ser importantes por exemplo, para um agricultor na época do plantio. Por outro lado o modelo LSTM pode ser utilizado por este mesmo agricultor, na cultura do milho, quando o vento for um fator importante.

De modo geral, os resultados confirmam que os modelos estatísticos tradicionais ainda constituem ferramentas poderosas para a previsão de variáveis climáticas, especialmente quando a sazonalidade exerce papel central. As redes neurais LSTM, embora mais exigentes em termos computacionais, mostraram-se competitivas em cenários com maior irregularidade, enquanto o modelo VAR não demonstrou desempenho adequado frente às demais abordagens. Esses achados reforçam a importância de avaliar comparativamente diferentes técnicas, destacando que a escolha do método mais apropriado deve considerar tanto as propriedades estatísticas das séries quanto a natureza dos fenômenos climáticos analisados.

A busca por modelos tradicionais que atendam aos pressupostos inerentes às modelagens, SARIMA e VAR, configura entre os temas para estudos futuros. As funções de busca automática são de grande relevância mas não levam em consideração, na decisão sobre o modelo final, tais pressupostos.

A abordagem da rede neural LSTM por meio de aprendizado bayesiano é outro tema para estudos futuros. Esta abordagem, ao contrário da abordagem convencional permite calcular a incerteza da previsão por meio de intervalos de probabilidade.

REFERÊNCIAS BIBLIOGRÁFICAS

- [1] Amegashie, P. K., Owusu-Sekyere, G., Frempong, E. e Addo, J. O.: *Modelling Trends of Climatic Variability and Malaria in Ghana Using Vector Autoregression*. Advances in Meteorology, 2018:1–12, 2018. <https://onlinelibrary.wiley.com/doi/full/10.1155/2018/6124321>.
- [2] Barros, A. C., Mattos, D. M. de, Oliveira, I. C. L. de e outros: *Análise de Séries Temporais em R: Curso Introdutório*. GEN Atlas, Rio de Janeiro, 2017, ISBN 9788595154902. E-book. Disponível em: <https://integrada.minhabiblioteca.com.br/reader/books/9788595154902/>. Acesso em: 18 jun. 2025.
- [3] Bem-Haja, A. K.: *Previsão de nível de bacia hidrográfica utilizando rede neural artificial do tipo LSTM*. <https://repositorio.ifsp.edu.br/handle/123456789/709>, 2017. Trabalho de Conclusão de Curso, IFSP.
- [4] Fernandes, M., Silva, J. e Almeida, C.: *A critical review of RNN and LSTM variants in hydrological time series predictions*. MethodsX, 13:102946, 2024. Open access.
- [5] Ferreira, P. G. C. (ed.): *Análise de séries temporais em R: curso introdutório*. Instituto Brasileiro de Economia (IBRE) – FGV, Rio de Janeiro, 2022.
- [6] Haykin, S.: *Redes Neurais: Princípios e Prática*. Bookman, Porto Alegre, 2001, ISBN 9788577800865. E-book. Disponível via Minha Biblioteca (integrada.minhabiblioteca). Acesso em: 18jun.2025.
- [7] Instituto Nacional de Meteorologia - INMET: *Banco de Dados Meteorológicos para Ensino e Pesquisa – BDMEP*, 2025. <https://bdmep.inmet.gov.br/>, Acesso em: 05 set. 2025.
- [8] Loureiro, A. S.: *Previsão de séries temporais utilizando modelos ARIMA e redes neurais artificiais*. https://imef.furg.br/images/documentos/matematica-aplicada/monografias/2023-Aryel_Soares_Loureiro.pdf, 2023. Trabalho de Conclusão de Curso (Bacharelado em Matemática Aplicada), Universidade Federal do Rio Grande.
- [9] Mata, A. C. O. R. da: *Aplicação do Modelo SARIMA em Série do Índice de Calor na Baixada Cuiabana*. <https://repositorio.pgsscogna.com.br/bitstream/123456789/23246/1/Ana%20Cristina%20liveira%20Ribeiro%20da%20Mata.pdf>, 2019. Dissertação de Mestrado, Universidade de Cuiabá (UNIC) — Mestrado em Ciências Ambientais.
- [10] Morettin, P. A. e Toloi, C. M. C.: *Análise de Séries Temporais: Modelos Lineares Univariados*. Editora Blucher, São Paulo, 3^a ed., 2018.
- [11] Nixtla NeuralForecast Development Team: *NeuralForecast Documentation: AutoLSTM*, 2025. <https://github.com/Nixtla/neuralforecast>, acesso em 2025-09-17, Version 3.0.2.
- [12] Nunes, T.: *Comparison of the Predictive Performance of ARIMA, VAR and VEC Models in Cointegrated Time Series*. https://www.researchgate.net/publication/376409458_Comparison_of_the_Predictive_Performance_of_ARIMA_VAR_and_VEC_Models_in_Cointegrated_Time_Series, 2023. Artigo científico, ResearchGate.

- [13] Python Software Foundation: *Python Documentation*, 2025. <https://docs.python.org/3/>, acesso em 2025-09-05, Version 3.13.7.
- [14] Rahman, M. M., Islam, M. S. e Chowdhury, M. A. H.: *Modeling and Forecasting of Climatic Parameters: Univariate SARIMA Versus Multivariate Vector Autoregression Approach*. Journal of the Bangladesh Agricultural University, 16(3):492–502, 2018. <https://banglajol.info/index.php/JBAU/article/view/36494>.
- [15] Santos, J. A. A. dos e Chaucoski, Y.: *Previsão do Consumo de Energia Elétrica na Região Sudeste: Um Estudo de Caso Usando SARIMA e LSTM*. https://www.researchgate.net/publication/347638414_Previsao_do_Consumo_de_Energia_Eletrica_na_Regiao_Sudeste_Um_Estudo_de_Caso_Usando_SARIMA_e_LSTM, 2020. Revista CEREUS, Artigo científico.
- [16] Silveira Bueno, R. de Losso da: *Econometria de Séries Temporais*. Cengage Learning, São Paulo, 2^a ed., 2018.
- [17] Soares, A. C.: *Análise de séries temporais com uso de redes neurais artificiais em dados meteorológicos para previsão de chuva e eventos climáticos severos*. <https://repositorio.ufu.br/bitstream/123456789/36857/1/AnaliseSeriesTemporais.pdf>, 2022. Dissertação de Mestrado, Universidade Federal de Uberlândia.
- [18] Statsmodels Development Team: *Statsmodels: Vector Autoregressive Models (VAR) – Documentação*, 2025. https://www.statsmodels.org/dev/generated/statsmodels.tsa.vector_ar.var_model.VAR.html, acesso em 2025-10-14, Módulo `statsmodels.tsa.vector_ar.var_model.VAR`.
- [19] The PMDARIMA Development Team: *PMDARIMA Documentation*, 2025. <https://github.com/alkaline-ml/pmdarima>, acesso em 2025-09-05, Version 2.0.4.

A. CÓDIGO SARIMA

Apêndice A.1: Código para implementação do modelo SARIMA.

```

1
2 !pip uninstall -y numpy pmdarima pandas
3 !pip install numpy==1.26.4
4 !pip install pandas==2.3.1
5 !pip install pmdarima==2.0.4
6 import pandas as pd
7 import numpy as np
8 import seaborn as sns
9 from sklearn.metrics import mean_squared_error, r2_score
10 import matplotlib.pyplot as plt
11 %matplotlib inline
12 from pmdarima.arima import auto_arima
13 from statsmodels.tsa.statespace.sarimax import SARIMAX
14 from pmdarima import arima
15 from pmdarima.utils import tsdisplay, autocorr_plot, decomposed_plot, plot_acf, plot_pacf
16 from matplotlib.pyplot import rcParams
17 rcParams['figure.figsize']=15,6
18 from pmdarima.arima import ADFTest
19
20 df=pd.read_csv("/content/dados_diarios.txt",sep="\t")
21 df['Precipitacao'] = pd.to_numeric(df['Precipitacao'], errors='coerce')
22 df['Umidade'] = pd.to_numeric(df['Umidade'], errors='coerce')
23 df['Temperatura'] = pd.to_numeric(df['Temperatura'], errors='coerce')
24 df['Vento'] = pd.to_numeric(df['Vento'], errors='coerce')
25 df['Data'] = pd.to_datetime(df['Data'], format='%d/%m/%Y')
26 df['Precipitacao'] = np.where(df['Precipitacao'] < 0, 0, df['Precipitacao'])
27 df['Mes'] = df['Data'].dt.to_period('M')
28 display(df)
29 medias_mensais = df[df['Umidade'] > 0].groupby('Mes')['Umidade'].mean()
30 df['Umidade'] = df.apply(lambda row: medias_mensais[row['Mes']] if row['Umidade'] < 0 else row
   ['Umidade'], axis=1)
31
32 display(df)
33 df2_m = df.groupby("Mes").agg({
34     "Precipitacao": "mean",      # Soma da precipita o
35     "Temperatura": "mean",      # M dia da temperatura
36     "Umidade": "mean",         # M dia da umidade
37     "Vento": "mean"           # M dia do vento
38 }).reset_index()
39
40
41 # Exibir as primeiras linhas do resultado
42 print(df2_m.tail(n=6))
43 data_corte=df2_m.tail(3).iloc[0,0]
44 print(data_corte)
45 plt.figure(figsize=(10, 5))
46 plt.plot(df.index, df['Precipitacao'], color='blue', linewidth=1.5)
47 plt.title('S rie Temporal da Precipita o', fontsize=14)

```

```

48 plt.xlabel('Data', fontsize=12)
49 plt.ylabel('Precipitação (mm)', fontsize=12)
50 plt.grid(True)
51 plt.tight_layout()
52 plt.show()
53
54 plt.figure(figsize=(10, 5))
55 plt.plot(df.index, df['Umidade'], color='green', linewidth=1.5)
56 plt.title('Série Temporal da Umidade', fontsize=14)
57 plt.xlabel('Data', fontsize=12)
58 plt.ylabel('Umidade (%)', fontsize=12)
59 plt.grid(True)
60 plt.tight_layout()
61 plt.show()
62
63 plt.figure(figsize=(10, 5))
64 plt.plot(df.index, df['Temperatura'], color='red', linewidth=1.5)
65 plt.title('Série Temporal da Temperatura', fontsize=14)
66 plt.xlabel('Data', fontsize=12)
67 plt.ylabel('Temperatura (C)', fontsize=12)
68 plt.grid(True)
69 plt.tight_layout()
70 plt.show()
71
72 plt.figure(figsize=(10, 5))
73 plt.plot(df.index, df['Vento'], color='orange', linewidth=1.5)
74 plt.title('Série Temporal da Velocidade do Vento', fontsize=14)
75 plt.xlabel('Data', fontsize=12)
76 plt.ylabel('Velocidade do Vento (m/s)', fontsize=12)
77 plt.grid(True)
78 plt.tight_layout()
79 plt.show()
80 df2_m.tail(3)
81 df_train = df2_m[df2_m['Mes'] < data_corte].copy()
82 df_train = df_train.drop(['Mes'], axis=1)
83 df_test = df2_m[df2_m['Mes'] >= data_corte].copy()
84 # Teste de estacionariedade (ADF)
85 # valor p menor que 0,05 indica que a série
86 # estacionária
87 from statsmodels.tsa.stattools import adfuller
88
89 def check_stationarity_statsmodels(series):
90     result = adfuller(series.dropna())
91     p_value = result[1] # posição 1 = p-valor
92     return p_value
93
94 p_values = df_train.apply(check_stationarity_statsmodels)
95 print("P-valores do teste ADF:")
96 print(p_values)
97 df_diff=df_train.copy()
98 for coluna in df_train.columns:
99     if (p_values[coluna] > 0.05):
100         df_diff[coluna] = df_train[coluna].diff()
101     else:
102         df_diff[coluna] = df_train[coluna]
103 def check_stationarity(series):
104     result = adfuller(series.dropna())
105     return result[1] # Return the p-value
106
107 p_values2 = df_diff.apply(check_stationarity)
108 print("P-valores do teste ADF:")

```

```
109 print(p_values2)
110 df_diff=df_diff.dropna(axis=0)
111 df_diff.head()
112 # Sele o do melhor modelo.
113 import time
114 from pmдарима import auto_arima
115 # Precipita o
116 start_time = time.time()
117 model_precipitacao = auto_arima(df_diff['Precipitacao'],
118                                 start_p=0, start_q=0, d=None,
119                                 max_p=4, max_q=4, max_d=4,
120                                 start_P=0, start_Q=0, D=0,
121                                 max_P=3, max_D=3, max_Q=3, max_order=14,
122                                 m=12, seasonal=True, trace=True,
123                                 error_action='ignore', suppress_warnings=True,
124                                 stepwise=True)
125 tempo = (time.time() - start_time)/60
126 print(f"Tempo de execu o (Precipitacao): {tempo:.2f} minutos")
127 # Temperatura
128 start_time = time.time()
129 model_temperatura = auto_arima(df_diff['Temperatura'],
130                                 start_p=0, start_q=0, d=None,
131                                 max_p=4, max_q=4, max_d=4,
132                                 start_P=0, start_Q=0, D=0,
133                                 max_P=3, max_D=3, max_Q=3, max_order=14,
134                                 m=12, seasonal=True, trace=True,
135                                 error_action='ignore', suppress_warnings=True,
136                                 stepwise=True)
137 tempo = (time.time() - start_time)/60
138 print(f"Tempo de execu o (Temperatura): {tempo:.2f} minutos")
139
140
141 # Vento
142 start_time = time.time()
143 model_vento = auto_arima(df_diff['Vento'],
144                           start_p=0, start_q=0, d=None,
145                           max_p=4, max_q=4, max_d=4,
146                           start_P=0, start_Q=0, D=0,
147                           max_P=3, max_D=3, max_Q=3, max_order=14,
148                           m=12, seasonal=True, trace=True,
149                           error_action='ignore', suppress_warnings=True,
150                           stepwise=True)
151 tempo = (time.time() - start_time)/60
152 print(f"Tempo de execu o (Vento): {tempo:.2f} minutos")
153 # Umidade
154 start_time = time.time()
155 model_umidade = auto_arima(df_diff['Umidade'],
156                           start_p=0, start_q=0, d=None,
157                           max_p=6, max_q=6, max_d=6,
158                           start_P=0, start_Q=0, D=0,
159                           max_P=3, max_D=3, max_Q=3, max_order=18,
160                           m=12, seasonal=True, trace=True,
161                           error_action='ignore', suppress_warnings=True,
162                           stepwise=True)
163 tempo = (time.time() - start_time)/60
164 print(f"Tempo de execu o (Umidade): {tempo:.2f} minutos")
165 # Melhor modelo.
166
167 # Melhor modelo (formato simples)
168 print("Precipita o:", f"ARIMA{model_precipitacao.order}{model_precipitacao.seasonal_order"
     }[12]")
```

```

169 print("Temperatura: ", f"ARIMA{model_temperatura.order}{model_temperatura.seasonal_order}[12]")
170     )
171 print("Vento:      ", f"ARIMA{model_vento.order}{model_vento.seasonal_order}[12]")
172 print("Umidade:    ", f"ARIMA{model_umidade.order}{model_umidade.seasonal_order}[12]")
173 print("Crit rios de avalia o dos modelos:\n")
174
175 print("Precipita o:")
176 print("  AIC:", model_precipitacao.aic())
177 print("  BIC:", model_precipitacao.bic())
178
179 print("\nTemperatura:")
180 print("  AIC:", model_temperatura.aic())
181 print("  BIC:", model_temperatura.bic())
182
183 print("\nVento:")
184 print("  AIC:", model_vento.aic())
185 print("  BIC:", model_vento.bic())
186
187 print("\nUmidade:")
188 print("  AIC:", model_umidade.aic())
189 print("  BIC:", model_umidade.bic())
190
191 # Treinando o model escolhido em step
192
193 # Ajustar modelos para cada vari vel usando os dados de treino
194 model_precipitacao.fit(df_diff['Precipitacao'])
195 model_temperatura.fit(df_diff['Temperatura'])
196 model_vento.fit(df_diff['Vento'])
197 model_umidade.fit(df_diff['Umidade'])
198
199 #colocar print dos 4 modelos de cada variavel
200
201 model_precipitacao.summary()
202 model_temperatura.summary()
203 model_vento.summary()
204 model_umidade.summary()
205 ### VERIFIC O DE PRESSUPOSTOS
206
207 import matplotlib.pyplot as plt
208 import statsmodels.api as sm
209 from statsmodels.stats.diagnostic import acorr_ljungbox, het_arch
210 from scipy.stats import jarque_bera, shapiro
211
212 # Fun o para diagn stico de res duos
213 def diagnosticar_residuos(modelo, nome):
214     residuos = modelo.resid()
215
216     print(f"\n===== Diagn stico para {nome} =====")
217
218     # 1. Independ ncia dos res duos
219     print("\nTeste de Ljung-Box (autocorrela o):")
220     lb = acorr_ljungbox(residuos, lags=[12], return_df=True)
221     print(lb)
222
223     fig, ax = plt.subplots(figsize=(5,2)) # define tamanho aqui
224     sm.graphics.tsa.plot_acf(residuos, lags=24, ax=ax) # usa o mesmo eixo
225     ax.set_title("ACF dos res duos - Precipita o")
226     plt.show()
227
228     # 2. Normalidade

```

```

229 print("\nTeste de Normalidade (Jarque-Bera):")
230 jb = jarque_bera(residuos)
231 print(f"Estatística={jb.statistic:.4f}, p-valor={jb.pvalue:.4f}")
232
233 # 2. Normalidade
234 #print("\nTeste de Normalidade (Shapiro-Wilk):")
235 #sw = jarque_bera(residuos)
236 #print(f"Estatística={sw.statistic:.4f}, p-valor={sw.pvalue:.4f}")
237
238 fig, ax = plt.subplots(figsize=(5,2)) # define tamanho aqui
239 sm.qqplot(residuos, line='s', ax=ax)
240 plt.title(f"Q-Q Plot - Precipitação")
241 plt.show()
242
243 fig, ax = plt.subplots(figsize=(5,2)) # define tamanho aqui
244 plt.hist(residuos, bins=20, edgecolor='k')
245 plt.title(f"Histograma dos resíduos - {nome}")
246 plt.show()
247
248 # 3. Homocedasticidade
249 print("\nTeste de Heterocedasticidade (ARCH):")
250 arch = het_arch(residuos)
251 print(f"Estatística={arch[0]:.4f}, p-valor={arch[1]:.4f}")
252 diagnosticar_residuos(model_umidade, "Umidade")
253 diagnosticar_residuos(model_precipitacao, "Precipitação")
254 diagnosticar_residuos(model_temperatura, "Temperatura")
255 diagnosticar_residuos(model_vento, "Vento")
256 h=df_test.shape[0]
257 print(h)
258 # Fazer previsão e obter intervalo de confiança para cada modelo - escala transformada
259
260 previsão_precipitacao, conf_int_precipitacao = model_precipitacao.predict(n_periods=h,
261     return_conf_int=True)
261 previsão_temperatura, conf_int_temperatura = model_temperatura.predict(n_periods=h,
262     return_conf_int=True)
262 previsão_vento, conf_int_vento = model_vento.predict(n_periods=h, return_conf_int=True)
263 previsão_umidade, conf_int_umidade = model_umidade.predict(n_periods=h, return_conf_int=True)
264
265 ultimo_valor = df_train['Temperatura'].iloc[-1] # ok
266 print(ultimo_valor)
267 def reverte_diferenciacao(previsão_diff, ultimo_valor):
268     """Reverte a diferença ou acumulando a previsão e somando ao último valor real"""
269     return np.r_[ultimo_valor, previsão_diff].cumsum()[1:]
270 # Considera que você tem: p_values, df_train (log1p, antes do diff), h_*
271
272 # Precipitação
273 if p_values['Precipitação'] > 0.05:
274     ultimo_valor = df_train['Precipitação'].iloc[-1]
275     previsão_precipitacao = reverte_diferenciacao(previsão_precipitacao, ultimo_valor)
276     conf_int_precipitacao = np.column_stack([
277         reverte_diferenciacao(conf_int_precipitacao[:, 0], ultimo_valor),
278         reverte_diferenciacao(conf_int_precipitacao[:, 1], ultimo_valor)
279     ])
280 else:
281     previsão_precipitacao = previsão_precipitacao
282     conf_int_precipitacao = conf_int_precipitacao
283
284 # Temperatura
285 if p_values['Temperatura'] > 0.05:
286     ultimo_valor = df_train['Temperatura'].iloc[-1]
287     previsão_temperatura = reverte_diferenciacao(previsão_temperatura, ultimo_valor)

```

```

288     conf_int_temperatura = np.column_stack([
289         reverter_diferenciacao(conf_int_temperatura[:, 0], ultimo_valor),
290         reverter_diferenciacao(conf_int_temperatura[:, 1], ultimo_valor)
291     ])
292 else:
293     previsao_temperatura = previsao_temperatura
294     conf_int_temperatura = conf_int_temperatura
295
296 # Vento
297 if p_values['Vento'] > 0.05:
298     ultimo_valor = df_train['Vento'].iloc[-1]
299     previsao_vento = reverter_diferenciacao(previsao_vento, ultimo_valor)
300     conf_int_vento = np.column_stack([
301         reverter_diferenciacao(conf_int_vento[:, 0], ultimo_valor),
302         reverter_diferenciacao(conf_int_vento[:, 1], ultimo_valor)
303     ])
304 else:
305     previsao_vento = previsao_vento
306     conf_int_vento = conf_int_vento
307
308 # Umidade
309 if p_values['Umidade'] > 0.05:
310     ultimo_valor = df_train['Umidade'].iloc[-1]
311     previsao_umidade = reverter_diferenciacao(previsao_umidade, ultimo_valor)
312     conf_int_umidade = np.column_stack([
313         reverter_diferenciacao(conf_int_umidade[:, 0], ultimo_valor),
314         reverter_diferenciacao(conf_int_umidade[:, 1], ultimo_valor)
315     ])
316 else:
317     previsao_umidade = previsao_umidade
318     conf_int_umidade = conf_int_umidade
319 ## N o h  mais a necessidade dessa transforma  o inversa
320
321 #previsao_precipitacao_original = np.expm1(previsao_precipitacao_log)
322 #conf_int_precipitacao_original = np.expm1(conf_int_precipitacao_log)
323
324 #previsao_temperatura_original = np.expm1(previsao_temperatura_log)
325 #conf_int_temperatura_original = np.expm1(conf_int_temperatura_log)
326
327 #previsao_vento_original = np.expm1(previsao_vento_log)
328 #conf_int_vento_original = np.expm1(conf_int_vento_log)
329
330 #previsao_umidade_original = np.expm1(previsao_umidade_log)
331 #conf_int_umidade_original = np.expm1(conf_int_umidade_log)
332
333 previsao_precipitacao
334 plt.figure(figsize=(12, 6))
335
336 # Plotting the historical data
337 plt.plot(df2_m.index, df2_m['Precipitacao'], label='Hist r ico', color='blue')
338 plt.plot(df_test.index, previsao_precipitacao, label='Previs o', color='red')
339 plt.fill_between(
340     df_test.index,
341     conf_int_precipitacao[:, 0], # limite inferior
342     conf_int_precipitacao[:, 1], # limite superior
343     color='gray',
344     alpha=0.3,
345     label='Intervalo de Previs o'
346 )
347 # Est tica
348 plt.title('S rie Temporal - Precipita o')

```

```
349 plt.xlabel(' ndice ')
350 plt.ylabel(' Precipita o ')
351 plt.grid(True)
352 plt.legend()
353 plt.tight_layout()
354 plt.show()
355 plt.figure(figsize=(12, 6))
356
357 # Plotting the historical data
358 plt.plot(df2_m.index, df2_m['Temperatura'], label='Hist r ico', color='blue')
359 plt.plot(df_test.index,previsao_temperatura,label='Previs o',color='red')
360 plt.fill_between(
361     df_test.index,
362     conf_int_temperatura[:, 0], # limite inferior
363     conf_int_temperatura[:, 1], # limite superior
364     color='gray',
365     alpha=0.3,
366     label='Intervalo de Previs o'
367 )
368 # Est tica
369 plt.title('S rie Temporal - Temperatura')
370 plt.xlabel(' ndice ')
371 plt.ylabel('Umidade')
372 plt.grid(True)
373 plt.legend()
374 plt.tight_layout()
375 plt.show()
376 plt.figure(figsize=(12, 6))
377
378 # Plotting the historical data
379 plt.plot(df2_m.index, df2_m['Vento'], label='Hist r ico', color='blue')
380 plt.plot(df_test.index,previsao_vento,label='Previs o',color='red')
381 plt.fill_between(
382     df_test.index,
383     conf_int_vento[:, 0], # limite inferior
384     conf_int_vento[:, 1], # limite superior
385     color='gray',
386     alpha=0.3,
387     label='Intervalo de Previs o'
388 )
389 # Est tica
390 plt.title('S rie Temporal - Vento')
391 plt.xlabel(' ndice ')
392 plt.ylabel('Vento')
393 plt.grid(True)
394 plt.legend()
395 plt.tight_layout()
396 plt.show()
397 plt.figure(figsize=(12, 6))
398
399 # Plotting the historical data
400 plt.plot(df2_m.index, df2_m['Umidade'], label='Hist r ico', color='blue')
401 plt.plot(df_test.index,previsao_umidade,label='Previs o',color='red')
402 plt.fill_between(
403     df_test.index,
404     conf_int_umidade[:, 0], # limite inferior
405     conf_int_umidade[:, 1], # limite superior
406     color='gray',
407     alpha=0.3,
408     label='Intervalo de Previs o'
409 )
```

```

410 # Est tica
411 plt.title('S rie Temporal - Umidade')
412 plt.xlabel(' ndice ')
413 plt.ylabel('Umidade')
414 plt.grid(True)
415 plt.legend()
416 plt.tight_layout()
417 plt.show()
418 import matplotlib.pyplot as plt
419
420 # Configura o global
421 plt.rcParams.update({
422     "figure.figsize": (12, 6),
423     "axes.titlesize": 16,
424     "axes.labelsize": 14,
425     "xtick.labelsize": 12,
426     "ytick.labelsize": 12,
427     "legend.fontsize": 12,
428     "grid.linestyle": "--",
429     "grid.alpha": 0.7,
430 })
431
432 def plot_series(df_hist, df_test, previsao, conf_int, var_name, pred_color):
433     """
434         Gr fico em preto para hist rico, linha vertical vermelha,
435         apenas a previs o em cor destacada.
436     """
437     plt.figure()
438
439     # Hist rico em preto
440     plt.plot(df_hist.index, df_hist[var_name], label='Hist rico', color='black')
441
442     # Previs o colorida
443     plt.plot(df_test.index, previsao, label='Previs o', color=pred_color)
444
445     # Intervalo de confian a em mesma cor da previs o, transparente
446     plt.fill_between(df_test.index, conf_int[:,0], conf_int[:,1], color=pred_color, alpha=0.3)
447
448     # Linha vertical vermelha pontilhada (n o entra na legenda)
449     plt.axvline(x=df_test.index[0], color='red', linestyle=':', linewidth=2)
450
451     # Est tica
452     plt.title(f"S rie Temporal - {var_name}")
453     plt.xlabel(" ndice ")
454     plt.ylabel(var_name)
455     plt.grid(True)
456     plt.legend()
457     plt.tight_layout()
458     plt.show()
459
460 # Chamadas para cada vari vel
461 plot_series(df2_m, df_test, previsao_precipitacao, conf_int_precipitacao, "Precipitacao", "blue")
462 plot_series(df2_m, df_test, previsao_temperatura, conf_int_temperatura, "Temperatura", "darkorange")
463 plot_series(df2_m, df_test, previsao_umidade, conf_int_umidade, "Umidade", "green")
464 plot_series(df2_m, df_test, previsao_vento, conf_int_vento, "Vento", "purple")
465
466 forecast = pd.DataFrame({
467     "Precipitacao": previsao_precipitacao,
468     "Umidade": previsao_umidade,

```

```
469     "Temperatura": previsao_temperatura,
470     "Vento": previsao_vento
471 })
472 forecast #valores preditos
473 # intervalos de confian a
474 print("Previs o precipita o:")
475 print(previsao_precipitacao)
476 print("\nIntervalo de confian a precipita o:")
477 print(conf_int_precipitacao)
478
479 print("\nPrevis o temperatura:")
480 print(previsao_temperatura)
481 print("\nIntervalo de confian a temperatura:")
482 print(conf_int_temperatura)
483
484 print("\nPrevis o vento:")
485 print(previsao_vento)
486 print("\nIntervalo de confian a vento:")
487 print(conf_int_vento)
488
489 print("\nPrevis o umidade:")
490 print(previsao_umidade)
491 print("\nIntervalo de confian a umidade:")
492 print(conf_int_umidade)
493 from sklearn.metrics import mean_squared_error, mean_absolute_error
494 import numpy as np
495 import pandas as pd
496
497 # DataFrames: df_test (valores observados), forecast (valores previstos)
498 # Assegure-se de que ambos est o alinhados temporalmente (mesmo ndice )
499
500 # Dicion rios para armazenar os resultados
501 rmse_resultados = {}
502 mae_resultados = {}
503 mse_resultados = {}
504
505 for col in forecast.columns:
506     # Remove valores nulos, se houver
507     y_true = df_test[col].dropna()
508     y_pred = forecast[col].dropna()
509
510     # Alinhar os ndices antes de comparar
511     y_true, y_pred = y_true.align(y_pred, join='inner')
512
513     # C lculo das m tricas
514     mse = mean_squared_error(y_true, y_pred)
515     rmse = np.sqrt(mse)
516     mae = mean_absolute_error(y_true, y_pred)
517
518     # Armazenar resultados
519     mse_resultados[col] = mse
520     rmse_resultados[col] = rmse
521     mae_resultados[col] = mae
522
523 # Mostrar os resultados
524 print("\nMSE por vari vel:")
525 for col, val in mse_resultados.items():
526     print(f"{col}: {val:.4f}")
527
528 print("\nRMSE por vari vel:")
529 for col, val in rmse_resultados.items():
530     print(f"{col}: {val:.4f}")
```

```
530     print(f"{col}: {val:.4f}")
531
532 print("\nMAE por variável:")
533 for col, val in mae_resultados.items():
534     print(f"{col}: {val:.4f}")
```

B. CÓDIGO VAR

Apêndice B.1: Código para implementação do modelo VAR.

```

1
2 import numpy as np
3 import pandas as pd
4 import matplotlib.pyplot as plt
5 import statsmodels.api as sm
6 from statsmodels.tsa.api import VAR
7 from statsmodels.tsa.stattools import adfuller
8
9
10 df=pd.read_csv('dados_diarios.txt',sep='\t')
11 df['Precipitacao'] = pd.to_numeric(df['Precipitacao'], errors='coerce')
12 df['Umidade'] = pd.to_numeric(df['Umidade'], errors='coerce')
13 df['Temperatura'] = pd.to_numeric(df['Temperatura'], errors='coerce')
14 df['Vento'] = pd.to_numeric(df['Vento'], errors='coerce')
15 df['Data'] = pd.to_datetime(df['Data'], format='%d/%m/%Y')
16
17 # Plotando as séries temporais
18 plt.figure(figsize=(10, 5))
19 for column in df[df.columns.difference(['Data'])].columns:
20     plt.plot(df['Data'].index, df[column], label=column)
21 plt.legend()
22 plt.title('Séries Temporais Multivariadas')
23 plt.show()
24
25 df['Precipitacao'] = np.where(df['Precipitacao'] < 0, 0, df['Precipitacao'])
26 df['Mes'] = df['Data'].dt.to_period('M')
27 medias_mensais = df[df['Umidade'] > 0].groupby('Mes')[['Umidade']].mean()
28 df['Umidade'] = df.apply(lambda row: medias_mensais[row['Mes']] if row['Umidade'] < 0 else row['Umidade'], axis=1)
29 plt.figure(figsize=(10, 5))
30 plt.plot(df.index, df['Precipitacao'], color='blue', linewidth=1.5)
31 plt.title('Série Temporal da Precipitação', fontsize=14)
32 plt.xlabel('Data', fontsize=12)
33 plt.ylabel('Precipitação (mm)', fontsize=12)
34 plt.grid(True)
35 plt.tight_layout()
36 plt.show()
37
38 plt.figure(figsize=(10, 5))
39 plt.plot(df.index, df['Umidade'], color='green', linewidth=1.5)
40 plt.title('Série Temporal da Umidade', fontsize=14)
41 plt.xlabel('Data', fontsize=12)
42 plt.ylabel('Umidade (%)', fontsize=12)
43 plt.grid(True)
44 plt.tight_layout()
45 plt.savefig('Umidade.png', dpi=300, bbox_inches='tight')
46
47 plt.figure(figsize=(10, 5))

```

```

48 plt.plot(df.index, df['Temperatura'], color='orange', linewidth=1.5)
49 plt.title('Série Temporal da Temperatura', fontsize=14)
50 plt.xlabel('Data', fontsize=12)
51 plt.ylabel('Temperatura ( C )', fontsize=12)
52 plt.grid(True)
53 plt.tight_layout()
54 plt.savefig('Temperatura.png', dpi=300, bbox_inches='tight')
55
56 plt.figure(figsize=(10, 5))
57 plt.plot(df.index, df['Vento'], color='purple', linewidth=1.5)
58 plt.title('Série Temporal da Velocidade do Vento', fontsize=14)
59 plt.xlabel('Data', fontsize=12)
60 plt.ylabel('Velocidade do Vento (m/s)', fontsize=12)
61 plt.grid(True)
62 plt.tight_layout()
63 plt.savefig('Vento.png', dpi=300, bbox_inches='tight')
64 # Plotando as séries temporais
65 plt.figure(figsize=(10, 5))
66 for column in df[df.columns.difference(['Data', 'Mes'])].columns:
67     plt.plot(df['Data'].index, df[column], label=column)
68 plt.legend()
69 plt.title('Séries Temporais Multivariadas')
70 plt.show()
71
72 # Agregar os dados por mês
73 # Ver se melhor dados diários ou mensais
74 df_m = df.groupby("Mes").agg({
75     "Precipitacao": "mean",      # Soma da precipitação
76     "Temperatura": "mean",      # Média da temperatura
77     "Umidade": "mean",          # Média da umidade
78     "Vento": "mean"            # Média do vento
79 }).reset_index()
80
81
82 # Exibir as primeiras linhas do resultado
83 print(df_m.tail(n=6))
84 # Separa o entre treino e teste
85 n_test=3
86 df_train = df_m.iloc[:-n_test]
87 print(df_train.tail())
88 # seleciona todas as linhas exceto as n_test últimas
89
90 df_test = df_m.iloc[-n_test:]
91 # seleciona as últimas n_test linhas
92 print(df_test)
93
94 # Teste de estacionariedade (ADF)
95 # valor p menor que 0,05 indica que a série
96 # é estacionária
97 def check_stationarity(series):
98     result = adfuller(series)
99     return result[1] # Retorna o p-valor
100
101 p_values = df_train.drop('Mes', axis=1).apply(check_stationarity)
102 print("P-valores do teste ADF:")
103 print(p_values)
104 # Se alguma série não for estacionária, diferenciar
105 df_diff = df_train.drop('Mes', axis=1).copy()
106
107 for col in df_train.drop('Mes', axis=1).columns:
108     if p_values[col] > 0.05:

```

```

109      # Se n o estacionaria      diferenciar
110      df_diff[col] = df_train[col].diff()
111
112      else:
113          # Se estacionaria      mant m como est
114          df_diff[col] = df_train[col]
115
116 # Remover primeira linha que ter  NaN em pelo menos uma coluna
117 df_diff = df_diff.dropna()
118
119
120 # Teste de estacionariedade (ADF)
121 def check_stationarity(series):
122     result = adfuller(series)
123     return result[1] # Retorna o p-valor
124
125 p_values = df_diff.apply(check_stationarity)
126 print("P-valores do teste ADF:")
127 print(p_values)
128
129 from statsmodels.graphics.tsaplots import plot_pacf
130
131 # Verificar como interpretar os gr ficos
132 for column in df_diff.columns:
133     plot_pacf(df_diff[column], lags=30)
134     plt.show()
135
136 model=VAR(df_diff)
137 maxlag=20
138
139 order_results = model.select_order(maxlags=maxlag)
140 print(order_results.summary())
141 lag_order = order_results.aic
142
143 #essa fun ao (model.select_order) procura a melhor ordem de acordo com qual metrica, aic, bic
144     , fpe??? ate o lag maximo de 20 escolhido arbitrariamente
145
146 from statsmodels.tsa.api import VAR
147
148 model = VAR(df_diff)
149 maxlag = 20
150
151
152 # Seleciona a melhor ordem de lag usando diferentes crit rios
153 order_results = model.select_order(maxlags=maxlag)
154
155
156 # Mostra o resumo com todos os crit rios
157 print(order_results.summary())
158
159 # Pega o lag de cada crit rio
160 lag_order_aic = order_results.aic
161 lag_order_bic = order_results.bic
162 lag_order_fpe = order_results.fpe
163 lag_order_hqic = order_results.hqic
164
165
166 print(f" Lag escolhido pelo AIC: {lag_order_aic}")
167 print(f" Lag escolhido pelo BIC: {lag_order_bic}")
168 print(f" Lag escolhido pelo FPE: {lag_order_fpe}")
169 print(f" Lag escolhido pelo HQIC: {lag_order_hqic}")
170
171
172 print(lag_order)
173 var_model = model.fit(lag_order)
174 print(var_model.summary())
175
176
177 #colocar a equa o do modelo VAR na metodologia "resumida"
178 #colocar tabelas das equa es no latex

```

```

169 # Ver como interpretar o teste a seguir
170
171 variaveis=['Vento', 'Precipitacao', 'Temperatura', 'Umidade']
172
173 for var in variaveis:
174     causality_test = var_model.test_causality(caused=var,
175         causing = [v for v in variaveis if v != var], kind='f')
176     print(causality_test.summary())
177 ## Diagn stico - res duos e estabilidade do modelo
178
179 # res duos n o correlacionados
180 # H0: n o h autocorrela o significativa nos res duos
181 from statsmodels.stats.diagnostic import acorr_ljungbox
182
183 residuos = var_model.resid
184 residuos.columns
185
186 for col in residuos.columns:
187     # Teste de Portmanteau (PT.asymptotic e PT.adjusted)
188     # Por que lags=[10] ???? Esse valor testa se lags n o considerados
189     # no modelo pode estar causando autocorrela o. Isto , autocorrela o
190     # pela falta de lags maiores. Ent o, se a modelagem
191     # foi feita com lag_order, deve ser testado, por exemplo
192     # lags=[lag_order+10]
193     #
194     pt_asymp = acorr_ljungbox(residuos[col], lags=[lag_order+25], return_df=True)
195     pt_adjusted = acorr_ljungbox(residuos[col], lags=[lag_order+25], model_df=2, return_df=
196     True) # Ajustado
197
198     print(f"Teste de Portmanteau (Asymptotic) {col}:", pt_asymp)
199     print("-" * 40)
200     print(f"Teste de Portmanteau (Adjusted) {col}:", pt_adjusted)
201     print("-" * 40)
202
203 # teste de heterocedasticidade
204 # H0: Os erros tem vari ncia cte ao longo do tempo
205 from statsmodels.stats.diagnostic import het_arch
206
207 for col in residuos.columns:
208     print(f'Teste ARCH para {col}:')
209     arch_test = het_arch(residuos[col])
210     print(f'LM Statistic: {arch_test[0]:.4f}, p-valor: {arch_test[1]:.4f}')
211     print('-' * 40)
212
213 # teste de normalidade
214 # H0: normalidade
215
216 from scipy.stats import jarque_bera
217
218 for col in residuos.columns:
219     jb_test = jarque_bera(residuos[col]) # Teste de Jarque-Bera
220     print(f"Teste de Jarque-Bera {col}:\n", jb_test)
221     print('-' * 40)
222
223 #colocar tabela com p valores
224 print(residuos)
225 # Normalidade multivariada
226 !pip install pingouin
227 from pingouin import multivariate_normality
228 mardia_test = multivariate_normality(residuos, alpha=0.05)
229 print(mardia_test)
230 # Fazendo previs es

```

```

229 # df_train.values[-lag_order:] => lag_order a quantidade de obs passadas
230 # necess rias para fazer a pr xima previs o. A primeira previs o feita
231 # com lag_order obs passadas todas dos daddos coletados ("dados reais")
232 # Para a segunda previs o, usa-se as ltimas lag_order-1 "reais" + a primeira
233 # prevista na etapa anterior. O comando var_model.forecast faz isso
234 # automaticamente.
235
236 forecast = var_model.forecast(df_diff.values[-lag_order:],
237                                steps=n_test)
238 pred_index = df_diff.index
239 forecast_diff = pd.DataFrame(forecast, columns=df_train.drop(['Mes'], axis=1).columns)
240 print(forecast_diff)
241 print(df_test) #valores observados
242 irf = var_model.forecast_interval(df_diff.values[-lag_order:], steps=n_test, alpha=0.05)
243 lower_bound = pd.DataFrame(irf[1], index=df_test.drop(['Mes'], axis=1).index, columns=df_train.
244                             drop(['Mes'], axis=1).columns)
244 upper_bound = pd.DataFrame(irf[2], index=df_test.drop(['Mes'], axis=1).index, columns=df_train.
245                             drop(['Mes'], axis=1).columns)
245 print(lower_bound)
246 # Revertendo a diferencia o para a escala antes da diferencia ao
247 forecast_df = forecast_diff.copy()
248
249 # Lista das colunas que devem ser revertidas (todas menos precipita o)
250 cols_reverter = [c for c in forecast_diff.columns if c != "Precipitacao"]
251
252 # Obt m o ltimo valor real de cada coluna antes da diferencia o
253 last_values = df_train[cols_reverter].iloc[-1]
254
255 # Aplica revers o s nessas colunas
256 forecast_df[cols_reverter] = forecast_diff[cols_reverter].cumsum().add(last_values[
257     cols_reverter], axis=1)
257 print(forecast_diff)
258 print(forecast_df) #valores preditos
259 # Revertendo os intervalos para a escala antes da diferencia ao
260 lower_bound_df = lower_bound.copy()
261 upper_bound_df = upper_bound.copy()
262
263 lower_bound_df[cols_reverter] = lower_bound[cols_reverter].cumsum().add(last_values[
264     cols_reverter], axis=1)
264 upper_bound_df[cols_reverter] = upper_bound[cols_reverter].cumsum().add(last_values[
265     cols_reverter], axis=1)
265
266 print(lower_bound_df) #limite inferior
267 print(upper_bound_df) #limite superior
268 #ver sobre umidade do ar se pode passar de 100%, se nao puder falar que o modelo nao limita o
269 # limite superior a 100
270 df_m.columns
271 # Plotando os resultados na escala original
272 # Definindo cores espec ficas para cada vari vel
272 cores = {
273     'Precipitacao': 'blue',
274     'Temperatura': 'orange',
275     'Umidade': 'green',
276     'Vento': 'purple'
277 }
278
279 for col in forecast_df.columns:
280     fig, ax = plt.subplots(figsize=(10, 4))
281
282     # S rie observada (linha preta)
283     ax.plot(df_m.drop(['Mes'], axis=1, errors='ignore').index,

```

```

284         df_m.drop(['Mes'], axis=1, errors='ignore')[col],
285         label='Hist ríco', color='black')
286
287     # Série prevista
288     cor = cores.get(col, 'blue') # padrão azul se não estiver no dicionário
289     ax.plot(df_test.index, forecast_df[col],
290             label='Previsão', color=cor)
291
292     # Intervalo de confiança
293     ax.fill_between(df_test.index, lower_bound_df[col], upper_bound_df[col],
294                      color=cor, alpha=0.2)
295
296     # Linha vertical divisor treino/teste
297     ax.axvline(df_train.index[-1], color='red', linestyle='dotted')
298
299     # Ajustes visuais
300     ax.set_title(f'Série Temporal - {col}')
301     ax.set_ylabel(col)
302     ax.set_xlabel('Data')
303     ax.legend(loc='upper left')
304
305     plt.show()
306
307     #deixar todos os graficos de todos os modelos padronizados
308 print(df_m.tail(n=3)) #observado
309 print(forecast_df) #previsto
310 print(lower_bound_df)
311 print(upper_bound_df)
312 from sklearn.metrics import mean_squared_error, mean_absolute_error
313 import numpy as np
314 import pandas as pd
315
316 # Lista para armazenar os resultados
317 metricas = []
318
319 # Loop para cada variável prevista
320 for col in forecast_df.columns:
321     y_true = df_test[col]
322     y_pred = forecast_df[col]
323
324     # Cálculo das métricas
325     mse = mean_squared_error(y_true, y_pred)
326     rmse = np.sqrt(mse)
327     mae = mean_absolute_error(y_true, y_pred)
328
329     # Adicionar ao dicionário
330     metricas.append({
331         "Variável": col,
332         "MSE": mse,
333         "RMSE": rmse,
334         "MAE": mae
335     })
336
337 # Criar DataFrame com as métricas
338 df_metricas = pd.DataFrame(metricas)
339
340 # Exibir tabela
341 print(df_metricas)

```

C. CÓDIGO LSTM

Apêndice C.1: Código para implementação do modelo LSTM para a variável precipitação.

```

1
2 !pip install --upgrade neuralforecast
3 !pip install torch --upgrade
4 !pip install openpyxl
5 import pandas as pd
6 from neuralforecast.auto import AutoLSTM
7 from neuralforecast.core import NeuralForecast
8 df=pd.read_csv("/content/dados_diarios.txt",sep="\t")
9 df['Precipitacao'] = pd.to_numeric(df['Precipitacao'], errors='coerce')
10 df['Umidade'] = pd.to_numeric(df['Umidade'], errors='coerce')
11 df['Temperatura'] = pd.to_numeric(df['Temperatura'], errors='coerce')
12 df['Vento'] = pd.to_numeric(df['Vento'], errors='coerce')
13 df['Data'] = pd.to_datetime(df['Data'], format='%d/%m/%Y')
14 import numpy as np
15 df['Precipitacao'] = np.where(df['Precipitacao'] < 0, 0, df['Precipitacao'])
16 df['Mes'] = df['Data'].dt.to_period('M')
17 medias_mensais = df[df['Umidade'] > 0].groupby('Mes')['Umidade'].mean()
18 # Cada linha do df receber medias_mensais[row['Mes']] se row['Umidade'] < 0 e,
19 # caso contrário, continuar com o valor antigo (row['Umidade'])
20 df['Umidade'] = df.apply(lambda row: medias_mensais[row['Mes']] if row['Umidade'] < 0 else row
21 ['Umidade'], axis=1)
22 # Agregar os dados por mês
23 # Ver se melhor dados de rios ou mensais
24 df_m = df.groupby("Mes").agg({
25     "Precipitacao": "mean",    # Soma da precipitação
26     "Temperatura": "mean",    # Média da temperatura
27     "Umidade": "mean",       # Média da umidade
28     "Vento": "mean"          # Média do vento
29 }).reset_index()
30
31 # Exibir as primeiras linhas do resultado
32 print(df_m.tail(n=6))
33 df_m=df_m.rename(columns={'Mes': 'Data'})
34 print(df_m.tail())
35 # Definir tamanho do conjunto de treino (80% dos dados)
36 data_limite=df_m.tail(3).iloc[0,0]
37 print(data_limite)
38
39 train = df_m.loc[df_m['Data'] < data_limite]
40 valid = df_m.loc[df_m['Data'] >= data_limite]
41
42 h = valid.shape[0]
43 print(h)
44 import matplotlib.pyplot as plt
45 from neuralforecast.auto import AutoLSTM
46 from neuralforecast.losses.pytorch import MAE
47 import torch.nn as nn

```

```

48
49 #modelo = AutoLSTM(h=h, loss=MAE())
50 auto_lstm_model = AutoLSTM(
51     h=h,                      # prever 3 meses    frente
52     loss=MAE()
53 )
54 model = NeuralForecast(models=[auto_lstm_model], freq='M')
55 # Renomeando para 'ds'
56 train = train.rename(columns={'Data': 'ds'})
57 valid = valid.rename(columns={'Data': 'ds'})
58 train['ds'] = train['ds'].dt.to_timestamp()
59 valid['ds'] = valid['ds'].dt.to_timestamp()
60
61 # Renomeando para 'y'
62 train = train.rename(columns={'Precipitacao': 'y'})
63 valid = valid.rename(columns={'Precipitacao': 'y'})
64
65
66 # O dataset pode ter mais que uma serie
67 # Neste caso   s   uma
68 train['unique_id'] = 'serie1'
69 valid['unique_id'] = 'serie1'
70
71 train=train[['ds','y','unique_id']]
72 valid=valid[['ds','y','unique_id']]
73
74 train['y']=train['y']
75 # Ajuste do modelo:
76
77 import time # para medir o tempo gasto
78
79 start_time = time.time() # tempo inicial
80 model.fit(train, val_size=3*h) # Ajusta o modelo
81 tempo = (time.time() - start_time)/60
82 print(f"Tempo gasto: {tempo} minutos")
83
84 def wmape(y_true, y_pred):
85     return np.abs(y_true - y_pred).sum() / np.abs(y_true).sum()
86 p = model.predict().reset_index()
87 print(p)
88
89 p['AutoLSTM'].values
90 valid['AutoLSTM']=p['AutoLSTM'].values
91 auto_lstm_model = model.models[0]
92 results = auto_lstm_model.model.state_dict()
93 # Obter state_dict do modelo
94 state_dict = auto_lstm_model.model.state_dict()
95
96 # Quantidade de camadas LSTM
97 num_layers = len([k for k in state_dict.keys() if 'weight_ih_l' in k])
98
99 # Quantidade de neurônios ocultos por camada
100 hidden_size = state_dict['hist_encoder.weight_hh_10'].shape[0] // 4 # Divide por 4 devido
101           # a gates LSTM
102
103 print(f"Numero de camadas LSTM: {num_layers}")
104 print(f"Numero de neurônios por camada: {hidden_size}")
105 print(state_dict.keys())
106 # Plotando os resultados
107 plt.figure(figsize=(10, 4))
108 # Lembrar de mudar a variável AQUI conforme quem    y #####

```

```
108 #plt.plot(df_m['Data'].dt.to_timestamp(), df_m['Precipitacao'], label='Série Temporal Real',  
109     linestyle='dashed')  
110 plt.plot(df_m['Data'].dt.to_timestamp(), df_m['Precipitacao'], label='Série Temporal Real',  
111     color='black')  
112 plt.plot(valid['ds'], valid['AutoLSTM'], label='Previsão AutoLSTM', color='blue')  
113 plt.axvline(train['ds'].iloc[-1], color='red', linestyle='dotted')  
114 plt.xlabel('Data')  
115 plt.ylabel('Precipitacao') # E AQUI TAMBÉM #####  
116 plt.title('Previsão com AutoLSTM')  
117 plt.legend(loc='upper left')  
118 plt.show()  
119 from sklearn.metrics import mean_squared_error, mean_absolute_error  
120  
121 rmse = np.sqrt(mean_squared_error(valid['y'], valid['AutoLSTM']))  
122 mae = mean_absolute_error(valid['y'], valid['AutoLSTM'])  
123 mse = mean_squared_error(valid['y'], valid['AutoLSTM'])  
124 [print(rmse), print(mse), print(mae)]
```